

PA 1507

Jovan P. Lazović

**VAŽNIJE OSOBENOSTI U KRISTANJU
KVAZIKOMPLANARNIH PLANSTOIDA**

(Doktorska disertacija)

S A D R Ź A J

Str.

UVOD

1. Kratak istorijat odredjivanja fizičkih konjunkcija i
proksimiteta planetoida 1
2. Značaj proksimiteta 7

I DEO

GEOMETRIJSKO-KINEMATIČKE OSOBENOSTI KVAZIKOMPLANARNIH PLANETOIDA

3. Odredjivanje proksimiteta eliptičnih putanja 10
4. Kvasikomplanarnost planetoida (589) Croatia i
(1564) Srbija 16
5. Relativni položaji putanja i planetoida 17
 - a) Odredjivanje relativnih položaja putanja 18
 - b) Odredjivanje polarnog položaja u proksimitetu ... 20
6. Izračunavanje najmanjeg rastojanja putanja 22
7. Odredjivanje trenutka prolaza planetoida kroz
položaje proksimiteta 26

II DEO

DINAMIČKI USLOVI I VAŽNIJE POSLEDICE KONJUNKCIJA PLANETOIDA OKO POLOŽAJA PROKSIMITETA

8. Promene rastojanja u proksimitetu u funkciji
putanjskih elemenata 30
 - a) Promene rastojanja u funkciji promena
longituda ulaznih čvorova 32

II

	Str.
b) Promene rastojanja u funkciji promena nagiba	33
c) Promene rastojanja u funkciji promena argumenta latituda perihelja	35
9. Izračunavanje bližih proksimiteta u skladu povoljnih varijaci- ja promena elemenata	36
10. Pregled obrazaca za izračunavanje poremećaja	40
11. Izračunavanje veličina koje se javljaju u obrascima za određivanje poremećaja	43
12. Pregled i objašnjenje izračunatih vrednosti	46
13. Procena verovatnih iznosa poremećaja oko proksimiteta u kretanju (1564) pod dejstvom (589)	50

III DEO

ZAKLJUČAK

14. Rezultati i njihov značaj	55
-------------------------------------	----

P r i l o g i

Tablica 1	58
Tablica 2	60
Tablica 3	62
Tablica 4	63
L i t e r a t u r a	65

U tekstu : 6 tablica na str. 17, 22, 38, 39, 49, 54;
4 slike na str. 18, 20, 53.

UVOD

1. Kratak istorijat određivanja fizičkih konjunkcija i proksimiteta planetoida. - Za dva planetoida se kaže da se nalaze u fizičkoj konjunkciji kad se nadju, sa iste strane u odnosu na Sunce, u istoj poluravni normalnoj na osnovnoj koordinatnoj ravni (ekliptičkoj, ekvatorskoj). Kraćeg izražavanja radi, pod terminom fizičke konjunkcije podrazumeva se još i kako definisani položaj, tako i trenutak kad se planetoidi u tom položaju nadju.

Proksimitetom dva planetoida nazivaju se tačke njihovih putanja koje se jedna od druge nalaze na najmanjoj udaljenosti. I ovde čemo, pod ovim pojmom, podrazumevati kako položaje na putanjama tako i trenutke kad se planetoidi nadju u tim položajima (ako se uopšte mogu naći).

Odmah se vidi, prema tome, da se određivanje kako fizičkih konjunkcija tako i proksimiteta dvaju planetoida sastoji iz dva problema. Prvi je čisto geometrijski; drugi kinematički, koji se svodi na određivanje trenutka kad pomenuta pojava nastaje. Najčešće se trenuci fizičkih konjunkcija i proksimiteta poklapaju; no ne obavezno. Zato se i njihovo određivanje često svodi na jedno izračunavanje.

Problem određivanja proksimiteta nije nov. On je pažnju astronoma privukao još sredinom prošloga veka, kad je broj otkrivenih planetoida dostigao svega petnaestak objekata. Problem su prvi rešili B. A. G o u l d i L. D' A r r e s t. No prvo njegovo strogo rešenje potiče od nemačkog astronoma G r u n e r t -a. Ovaj

auter je posmatrao opšti slučaj i pokušao da odredi tačke ukrštanja dvaju komasnih preseka u prostoru. Zatim je proučio slučaj ukrštanja u prostoru dvaju komasnih preseka sa zajedničkom žižom. Dao je i opšte izraze za određivanje tačaka ukrštanja, ali su ovi toliko glomazni i komplikovani da su za praksu neupotrebljivi /1, 2/.

Od 1835. ovim problemom počeo se baviti poznati nemački astronom i kasniji direktor Bečke opservatorije K a r l v o n L i t t r o w. Za dve decenije, koliko se ovim problemom bavio, objavio je o njemu čitav niz studija i memoara /3/. Možemo istaći da je, u prvom rešenju, Litrov za promenljive uzeo ekscentrične anomalije (E i E_1) planetoida u pitanju. Za određivanje anomalija traženog proksimiteta Litrov je u prvi mah koristio jedinačine:

$$\left. \begin{aligned} 0 &= \alpha \sin(E + B) - a^2 e^2 \sin 2E + \alpha' \sin(E + B') \cos E_1 + \\ &\quad + \alpha'' \sin(E + B'') \sin E_1, \\ 0 &= \beta \sin(E_1 + C) - a_1^2 e_1^2 \sin 2E_1 + \beta' \sin(E_1 + C') \cos E + \\ &\quad + \beta'' \sin(E_1 + C'') \sin E, \end{aligned} \right\} (1)$$

gde: a, e, a_1, e_1 označavaju velike poluse i ekscentričnosti dotičnih putanja, a $\alpha, \alpha', \alpha'', \beta, \beta', \beta'', B, B', B'', C, C', C''$ predstavljaju posebne veličine odn. funkcije putanjskih elemenata uočanih planetoida. Ovo rešenje ga, međjutim, nije zadovoljavalo, jer nije omogućavalo da, na jednostavan i dovoljno brz način, otkrije parove planetoida čije se putanje jedna drugoj dovoljno približuju. Zato je, prvo, pokušao da, pomoću dimenzionisanih modela od žice planetoidskih putanja, prethodno otkrije parove planetoida čije se putanje dovoljno jedna drugoj približuju. Ovakav postupak mu je ujedno omogućavao da nađe i približne vrednosti heliocentričnih longituda položaja proksimiteta. Ako se ovako nađena vrednost longitude nije mnogo raslikovala od longitude relativnog čvora, Litrov je za približnu vrednost longitude položaja proksimiteta uzimao nađenu vrednost longitude. Tačniju vrednost položaja proksimiteta određivao je sukcesivnim aproksimacijama: bile gra-

fički, bilo interpolacijama. Isto tako je određivao i samu udaljenost tačaka proksimiteta. No, kao što se vidi, ova metoda je za određivanje svakog proksimiteta zahtevala prilično i vremena i računa.

Treći nemački astronom, koji se ovim problemom bavio, bio je **L i n s s e r**. Njegov postupak se svodio na izračunavanje, u ekvidistantnim razmacima, heliocentričnih longituda (l), heliocentričnih latituda (b) i potega (r) uočanih planetoida. Zatim, upoređivanjem izračunatih potega i latituda i izdvajanjem onih parova za koje su razlike ovih vrednosti padale ispod usvojenih granica, određivao je vrednosti longituda proksimiteta. Orije-ncije radi, napominjemo da su Litrov i Linser kao interesantnu granicu proksimiteta bili usvojili 0.1 astronomske jedinice.

Četvrti nemački astronom koji se ovim problemom pozabavio, i to u svojoj doktorskoj disertaciji /4/, bio je **A. G a l l e** (sin astronom Galesa koji je otkrio Neptuna). On je počeo od uslova za minimum rastojanja putanja, izražena uslovnim jednačinama:

$$\left\{ \begin{array}{l} 2a^2(1 - \sin \varphi \cos E) \sin \varphi \sin E + 2aa_1 / \cos \varepsilon (\cos E_1 - \sin \varphi_1) \sin E + \\ + \cos \zeta \cos \varphi_1 \sin E \sin E_1 - \cos \vartheta \cos \varphi (\cos E_1 - \sin \varphi_1) \cos E - \\ - \cos \varrho \cos \varphi \cos \varphi_1 \sin E_1 \cos E / = 0, \\ 2a_1^2(1 - \sin \varphi_1 \cos E_1) \sin \varphi_1 \sin E_1 + 2aa_1 / \cos \varepsilon (\cos E - \\ - \sin \varphi) \sin E_1 + \cos \zeta \cos \varphi \sin E_1 \sin E - \cos \vartheta \cos \varphi_1 \cdot \\ \cdot (\cos E - \sin \varphi) \cos E_1 - \cos \varrho \cos \varphi_1 \cos \varphi \sin E \cos E_1 / = 0, \end{array} \right. \quad (2)$$

gde veličine a, φ, E - sa i bez indeksa - označavaju velike polu-ose, uglove ekscentričnosti i ekcentrične anomalije uočanih planetoida, a veličine $\varepsilon, \zeta, \vartheta, \varrho$ određene su jednačinama:

$$\left. \begin{array}{l} \cos \varepsilon = \cos V \cos V_1 + \sin V \sin V_1 \cos J, \\ \cos \zeta = \cos V \sin V_1 - \sin V \cos V_1 \cos J, \\ \cos \vartheta = \cos V_1 \sin V - \sin V_1 \cos V \cos J, \\ \cos \varrho = \sin V \sin V_1 + \cos V \cos V_1 \cos J, \end{array} \right\} \quad (3)$$

u kojima: V i V_1 predstavljaju prave anomalije relativnog uzlaznog čvora, dakle računate od perihela jedne i druge putanje, a J međusobni nagib putanja. Jednačine (2) Gale je, u svom radu, čitavim nizom smena i transformacija, sveo na

$$\left. \begin{aligned} \lambda \sin(E_1 + \Lambda) &= \frac{a}{2a_1} \sin^2 \varphi \sin 2E + \alpha \sin(E + A), \\ \lambda' \sin(E + \Lambda') &= \frac{a_1}{2a} \sin^2 \varphi_1 \sin 2E_1 + \alpha' \sin(E_1 + A'), \end{aligned} \right\} (4)$$

gde: $\lambda, \lambda', \Lambda, \Lambda', \alpha, \alpha', A, A'$ predstavljaju pomoćne veličine, ustvari prilično komplikovane izraze koje ne smatramo za potrebno da navodimo. Iz sistema (4) Gale je nepoznate E i E_1 izračunavao sukcesivnim aproksimacijama, uzimajući za polazne vrednosti ekcentričnih anomalija one dobivene pomoću relativnog čvora. Sa nađenim vrednostima ekcentričnih anomalija za položaje proksimiteta izračunavao je zatim samo rastojanje, a , potom, i epohu, kao i trajanje proksimiteta.

U vreme, kad se Gale ovim problemom bavio, broj otkrivenih planetoida iznosio je 232. Da bi ilustrirao svoju metodu na jednom primeru, on je bio izabrao par planetoida (48) Doris i (202) Chrysis. Relativni nagib putanja ovih planetoida iznosio je $J = 6^\circ 27'0$, razlike prvih anomalija između relativnog čvora i položaja proksimiteta za jednu i drugu putanju iznosile su $14'8$ i $14'3$, a za vrednost rastojanja u proksimitetu našao je 0.00 719 AJ. Gale je, ujedno, izračunao da će uočeni planetoidi ostati u granicama $0.05 AJ$ oko ovog proksimiteta 14.34 dana. Možemo još i to napomenuti da je Gale numerički rad obavljao logaritima sa četiri decimale.

Peti i poslednji astronom, koji se naj iscrpnije ovim problemom posabavio, bio je direktor Opservatorije u Mici G. F. a y e t sa svojim saradnicima Laugier, Fabre, Patry, Cailliatte i Rapien /5, 6/. On je u svom radu ispitao, tj. efektivno odredio: 1) uzajamne proksimitete 800 planetoidskih putanja; 2) proksimitete putanja periodičnih kometa i velikih planeta; 3) uzajamne proksimitete putanja periodičnih kometa; 4) proksimitete putanja periodič-

nih kometa i 150 najvećih planetoida. Sem geometrijskih proksimiteta, autor je odredio u svojoj studiji i epohe proksimiteta. Ali je istakao da, zbog dejstva poremećaja kojima podleže srednja siderička dnevna kretanja planetoida, date epohe imaju samo prolazni, orijentacioni ~~karakter~~ značaj.

I Faje je rešavao problem sukcesivnim aproksimacijama. On je polasio od hipoteze da su u proksimitetu dveju eliptičnih putanja heliocentrične longitude jednake, što, strogo uzev, ne mora biti. S obzirom da putanjski elementi planetoida, koje je ispitivao, nisu bili podjednako tačni, Faje se ograničio na one samo proksimitete kod kojih je minimalna udaljenost dveju putanja bila manja od 0.01 AJ. Ovim ograničenjem je ujedno odredio i razliku u heliocentričnim longitudama u proksimitetu posmatranih planetoida. Za ovu granicu je našao da leži ispod $0^{\circ}3$, pošto se većina posmatranih planetoida kreće oko Sunca u pojasu između 2.5 i 3.5 AJ.

Princip metode kojom se Faje služio u svom radu i računima nije nov. On se ustvari koristio postupkom koji je, 60 godina ranije, izložio engleski astronom A. M a r t h /7/. Suština Martova postupka, izložena u najsažetijem obliku, sastoji se u ovome. Mesto samih putanja u prostoru, čiji se proksimitet traži, posmatraju se tragovi koje bi one ostavile u poluravni, normalnoj na ekliptičkoj ravni, kad bi ove izvršile obrt oko normale na ekliptičkoj ravni, povučenoj kroz Sunčev položaj. Ovi tragovi nazvani su ekliptičkim intersektima. To su manje ili više pravilne, zatvorene krive. Izračunavanjem, za svakih, recimo, 10° heliocentrične longitude, prve, vrednosti potega i heliocentričnih latituda planetoida; zatim vrednosti $r \sin b$ i $r \cos b$ - što će reći pravougljih koordinata tačaka u posmatranoj normalnoj poluravni na ekliptici - dobiva se niz tačaka u toj poluravni koje, spojene neprekidnom linijom, predstavljaju intersekt dotičnog planetoida.

Izračunavane tačke intersekata Faje je nanosio na milimetarsku hartiju, što je moguće preciznije, u razmeri 100 mm

za jednu astronomsku jedinicu. Sa ovako konstruisanih intersekata on je neposredno dobivao približne položaje proksimiteta, a, zatim, jednostavno izračunavao i približne vrednosti i udaljenosti tačaka proksimiteta. Pri tome je za približne ~~putanja~~ vrednosti položaja proksimiteta uzimao preseke intersekata kojima su odgovarale vrlo približno jednake vrednosti longituda. Dodajmo da je Paje, sa svojih grafika, vrednost longituda proksimiteta mogao da oceni sa tačnošću od $0.5 - 1^{\circ}$. Tako je približnu vrednost udaljenosti proksimiteta odredjivao sa aproksimacijom od ± 0.003 AJ.

Za popravku prve približne, sa grafika nadjene, vrednosti longituda proksimiteta, l_0 , Paje se poslužio diferencijalnom metodom. U tu svrhu obeležava sa a i b popravke, za promenu od 1° heliocentrične longituda, koordinata $x = r \cos b$ i $y = r \sin b$; zatim, označavajući veličine svake od putanja, odnosno intersekata, indeksima 1 i 2, stavlja:

$$\begin{aligned} x_1 - x_2 &= r_1 \cos b_1 - r_2 \cos b_2 = F, \\ y_1 - y_2 &= r_1 \sin b_1 - r_2 \sin b_2 = G, \\ a_1 - a_2 &= f, \quad b_1 - b_2 = g, \quad f^2 + g^2 = D. \end{aligned}$$

Označivši, zatim, sa η popravku u stepenima polazne vrednosti heliocentrične longituda proksimiteta, l_0 , dobiva za popravljenu daljinu, S_1 , položaja proksimiteta:

$$S_1^2 = (F + f\eta)^2 + (G + g\eta)^2. \quad (5)$$

Odatle nalazi

$$S_1 \frac{dS_1}{d\eta} = (F + f\eta)f + (G + g\eta)g.$$

Iz uslova za minimum daljine, S_1 , nalazi za popravku:

$$\eta = - \frac{Ff + Gg}{f^2 + g^2} = - \frac{Ff + Gg}{D}. \quad (6)$$

Za popravljene vrednosti heliocentričnih longituda proksimiteta dobiva

$$l_1 = l_0 + \eta,$$

a vrednosti najmanje daljine u proksimitetu - iz (5). Ako bi

popravka bila veća, recimo preko 1° , postupak se mora ponoviti.

Strogo uzev, Fajeov postupak ne rešava konačno sam problem. Ni poslednja njegova aproksimacija ne daje tačnu vrednost najmanje daljine, jer pretpostavlja da ova mora ležati u ravni normalnoj na ekliptičkoj ravni, što, strogo uzev, nije slučaj ili ne mora da bude.

U dve sveske in 4° , od po 400 strana, Faje je objavio, za 800 planetoida, sve potrebne podatke za konstruisanje intersekata za svaki od ovih planetoida. Na temelju ovih podataka on je, sa svojim saradnicima, ispitao oko 320 000 parova intersekata. Ograničivši se samo na proksimitete kod kojih je najmanja daljina pedala ispod 0.015 AJ , našao je ukupno 11 661 takav slučaj. Među ovima je našao na šest parova, kod kojih daljina među planetoidima, u položaju proksimiteta, ne premaša 0.0004 AJ , što znači da je daljina među planetoidima, u tom trenutku, manja od 50 000 km.

2. Značaj proksimiteta. - Autori prvih radova na ovom problemu imali su pred očima, u prvom redu, raspored ili međusobne položaje putanja pronadjenih planetoida; a, u drugom, poreklo ovih tela u svetlosti poznate Olbersove hipoteze. Tek se kod K. v. Littrow -a pojavljuje ideja da bi proksimitet mogao, ako bi tela u tom trenutku jedno drugom prilazila dovoljno blizu, imati uticaja i na kretanje tih planetoida. Tako se došlo i na ideju da se, iz ovako proisteklih poremećaja u kretanju uočeni planetoida - pod uslovom da svi ostali mogući poremećaji (od strane velikih planeta) budu što tačnije određeni i njihovo kretanje, za trajanje proksimiteta, što tačnije proučeno - pokuša doći do, na samo i približnih, podataka o masama planetoida. Za ovaj problem od značaja su bili naročito proksimiteti koji su nešto duže trajali; drugim rečima, kod kojih su se uočeni planetoidi izvesno vreme otprilike paralelno kretali.

Međutim, ni Littrow, ni Galle, ni Payet nisu se, u svojim radovima, zaustavljali na problemu ocenjivanja masa planetoida.

Oni su se ograničavali isključivo na određivanje proksimiteta, to jest njegovih položaja, epoha i trajanja. Jedini koji se pozabavio problemom mase bio je poznati danski astronom i direktor Kopenhaške opservatorije **E. S t r ö m g r e n**. Zaključak njegove studije /8/ bio je negativan. On je pokazivao da proksimiteti planetoida, čak ni onih krupnijih, pri daljinama od po nekoliko **s t e t i h** astronomske jedinice, nisu dovoljni da proizvedu merljive poremećaje, iz kojih bi bilo moguće izvesti pouzdanije zaključke o masama ovih tela.

Problematikom planetoidskih proksimiteta kod nas su se bavili nekadanji Astronomsko-numerički institut Srpske akademije nauka i, kasnija, Astronomsko-numerička sekcija Matematičkog instituta Srpske akademije nauka i umetnosti /9, 10/. Da bi olakšao izbor slučajeva proksimiteta, koji bi mogli biti pogodni za (eventualnu) procenu mase, profesor **V. V. M i š k o v i ć** je obradu ograničavao samo na slučajeve planetoida koji su se kretali u približno istoj ravni; drugim rečima na slučajeve planetoida sa približno jednakim čvorovima i nagibima putanja. Ovakve parove, ili grupe, planetoida nazvao je kvazikomplanarnim planetoidima. U ovim slučajevima su znatno i olakšana i ubrzana bila određivanja kako samih heliocentričnih položaja (longituda) i najmanjih daljina, tako i epoha i trajanja - proksimiteta.

Iz skupa kvazikomplanarnih parova planetoida, sa dovoljno tačno poznatim putanjskim elementima, profesor **Mišković** mi je skrenuo pažnju na par planetoida **(589)** i **(1564)**. Ovaj par je, pored značaja zbog kvazikomplanarnosti svojih putanja, za nas još iz dva razloga od posebnog interesa: prvo, što oba planetoida nose nazive naših dveju najvećih republika - **(589) Croatia** i **(1564) Srbija** - a, drugo, što je **(1564) Srbija** prvi planetoid pronađen na Beogradskoj astronomskoj opservatoriji. Prirodno je bilo, dakle, kad je već slučaj htelo da se ova dva „naša“ planetoida skoro u istoj ravni oko Sunca kreću, da se ispitaju sve važnije pojedinosti, kao

i osobnosti u njihovim međusobnim položajima, koje iz tih okolnosti proističu; određi svi podaci njihovih proksimiteta; prouče eventualne posledice ovih osobnosti na njihova kretanja; i, najzad, ako je moguće, izvuku zaključci od opštijeg značaja za ovakve i slične slučajeve planetoida, ili uopšte tela, čija nas kretanja interesuju i koja možemo da posmatramo.

U ovom radu, koji predstavlja piščevu doktorsku disertaciju, izložena su ispitivanja pobrojanih problema i pitanja, kao i iz njih izvedeni rezultati i zaključci. Rad je podeljen u tri dela. U prvom su ispitane geometrijsko-kinematičke osobnosti kvazi-komplanarnih eliptičnih putanja, uopšte, i uočenog para „naših“ planetoida, (589) i (1564), posebno. U drugom delu su proučene dinamičke pojedinosti i važnije posledice za trajanja proksimiteta uočenih planetoida. Treći deo je zaključak, u kojem je istaknut značaj dobivenih rezultata i zaključaka.

I DEO

GEOMETRIJSKO-KINEMATIČKE OSOBNOSTI KVAZIKOMPLANARNIH PLANETOIDA

3. Određivanje proksimiteta eliptičnih putanja. -

Vektor položaja planetoida na njegovoj heliocentričnoj putanji dat je izrazom

$$\vec{r} = r \cos v \vec{P} + r \sin v \vec{Q},$$

gde su \vec{P} i \vec{Q} jedinični vektori u putanjskoj ravni, prvi usmeren ka perihelu, drugi normalan na prvom u smeru pravca određena pravom anomalijom $v = 90^\circ$. Komponente vektora \vec{P} i \vec{Q} , ili t. zv. planetoidove vektorske konstante, u heliocentričnom ekliptičkom pravouglom sistemu, u funkciji putanjskih elemenata (ω, δ, i) date su jednačinama:

$$\left. \begin{aligned} P_x &= \cos \omega \cos \delta - \sin \omega \sin \delta \cos i, \\ P_y &= \cos \omega \sin \delta + \sin \omega \cos \delta \cos i, \\ P_z &= \sin \omega \sin i, \\ Q_x &= -\sin \omega \cos \delta - \cos \omega \sin \delta \cos i, \\ Q_y &= -\sin \omega \sin \delta + \cos \omega \cos \delta \cos i, \\ Q_z &= \cos \omega \sin i. \end{aligned} \right\} (7)$$

Ako se poslužimo poznatim relacijama,

$$r \cos v = a(\cos E - e) = a(\cos E - \sin \varphi),$$

$$r \sin v = b \sin E = a \cos \varphi \sin E,$$

gornji izraz za \vec{r} prelazi u

$$\vec{r} = \vec{A}(\cos E - e) + \vec{B} \sin E, \quad (8)$$

gde su

$$e = \sin \varphi, \quad b = a \sqrt{1 - e^2} = a \cos \varphi, \quad (9)$$

$$\vec{A} = a \vec{P}, \quad \vec{B} = b \vec{Q}, \quad |\vec{A}| = a, \quad |\vec{B}| = b. \quad (10)$$

S obzirom na jednačine (8) i (10) dobivaju se, za pravougle koordinate, u ekliptičkom heliocentričnom pravouglom koordinatnom sistemu, u funkciji skcentrične anomalije, E, izrazi:

$$\left. \begin{aligned} x &= A_x (\cos E - e) + B_x \sin E, \\ y &= A_y (\cos E - e) + B_y \sin E, \\ z &= A_z (\cos E - e) + B_z \sin E, \end{aligned} \right\} \quad (11)$$

/11/ gde su :

$$\left. \begin{aligned} A_x &= a P_x, \quad A_y = a P_y, \quad A_z = a P_z, \\ B_x &= b Q_x, \quad B_y = b Q_y, \quad B_z = b Q_z, \end{aligned} \right\} \quad (12)$$

$$A_x^2 + A_y^2 + A_z^2 = a^2, \quad B_x^2 + B_y^2 + B_z^2 = b^2, \quad A_x B_x + A_y B_y + A_z B_z = 0. \quad (13)$$

Ako pretpostavimo da su nam dati putanjski elementi dvaju planetoida, njihovi položaji, u izvesnom trenutku, određeni su koordinatama oblika

$$x_j = f_{jx}(E_j), \quad y_j = f_{jy}(E_j), \quad z_j = f_{jz}(E_j), \quad (j = 1, 2), \quad (14)$$

gde su :

$$\left. \begin{aligned} f_{jx}(E_j) &= A_{jx} (\cos E_j - e_j) + B_{jx} \sin E_j, \\ f_{jy}(E_j) &= A_{jy} (\cos E_j - e_j) + B_{jy} \sin E_j, \quad (j = 1, 2) \\ f_{jz}(E_j) &= A_{jz} (\cos E_j - e_j) + B_{jz} \sin E_j. \end{aligned} \right\} \quad (15)$$

Pri tome su E_1 i E_2 dva nezavisna parametra.

Traži se sad najmanje rastojanje između putanja dvaju uočenih planetoida, od kojih svaki opisuje svoju Keplerovu elipsu. Primećujemo da se, u gornjim jednačinama, menjaju samo veličine E_j ($j = 1, 2$). Rastojanje, ρ , između ovih putanja biće, takođe, funkcija samo veličina E_j ($j = 1, 2$); za njegov kvadrat imamo

$$\rho^2 = /f_{1x}(E_1) - f_{2x}(E_2)/^2 + /f_{1y}(E_1) - f_{2y}(E_2)/^2 + /f_{1z}(E_1) - f_{2z}(E_2)/^2. \quad (16)$$

Kako je φ stalno pozitivno, $\min \varphi$ će biti kad i $\min \varphi^2$. I tako se uslovne jednačine, u slučaju najmanjeg rastojanja između dveju eliptičnih putanja, dobivaju iz jednačina :

$$\frac{\partial(\varphi^2)}{\partial E_1} = 0, \quad \frac{\partial(\varphi^2)}{\partial E_2} = 0. \quad (17)$$

Zbog (16) one postaju, pošto podelimo prvu sa 2, a drugu sa -2,

$$\left\{ \begin{array}{l} /f_{1x}(E_1) - f_{2x}(E_2)/ f'_{1x}(E_1) + /f_{1y}(E_1) - f_{2y}(E_2)/ f'_{1y}(E_1) + \\ \quad + /f_{1z}(E_1) - f_{2z}(E_2)/ f'_{1z}(E_1) = 0, \\ /f_{1x}(E_1) - f_{2x}(E_2)/ f'_{2x}(E_2) + /f_{1y}(E_1) - f_{2y}(E_2)/ f'_{2y}(E_2) + \\ \quad + /f_{1z}(E_1) - f_{2z}(E_2)/ f'_{2z}(E_2) = 0. \end{array} \right. \quad (18)$$

Iz (15) dobivamo :

$$\left. \begin{array}{l} f'_{jx}(E_j) = -A_{jx} \sin E_j + B_{jx} \cos E_j, \\ f'_{jy}(E_j) = -A_{jy} \sin E_j + B_{jy} \cos E_j, \\ f'_{jz}(E_j) = -A_{jz} \sin E_j + B_{jz} \cos E_j. \end{array} \right\} \quad (j = 1, 2) \quad (19)$$

Zbog (15) i (19) jednačine (18) postaju :

$$\left\{ \begin{array}{l} /A_{1x}(\cos E_1 - e_1) + B_{1x} \sin E_1 - A_{2x}(\cos E_2 - e_2) - B_{2x} \sin E_2/ \cdot \\ /-A_{1x} \sin E_1 + B_{1x} \cos E_1/ + /A_{1y}(\cos E_1 - e_1) + B_{1y} \sin E_1 - \\ - A_{2y}(\cos E_2 - e_2) - B_{2y} \sin E_2/ /-A_{1y} \sin E_1 + B_{1y} \cos E_1/ + \\ + /A_{1z}(\cos E_1 - e_1) + B_{1z} \sin E_1 - A_{2z}(\cos E_2 - e_2) - B_{2z} \sin E_2/ \cdot \\ /-A_{1z} \sin E_1 + B_{1z} \cos E_1/ = 0, \\ /A_{1x}(\cos E_1 - e_1) + B_{1x} \sin E_1 - A_{2x}(\cos E_2 - e_2) - B_{2x} \sin E_2/ \cdot \\ /-A_{2x} \sin E_2 + B_{2x} \cos E_2/ + /A_{1y}(\cos E_1 - e_1) + B_{1y} \sin E_1 - \\ - A_{2y}(\cos E_2 - e_2) - B_{2y} \sin E_2/ /-A_{2y} \sin E_2 + B_{2y} \cos E_2/ + \\ + /A_{1z}(\cos E_1 - e_1) + B_{1z} \sin E_1 - A_{2z}(\cos E_2 - e_2) - B_{2z} \sin E_2/ \cdot \\ /-A_{2z} \sin E_2 + B_{2z} \cos E_2/ = 0. \end{array} \right. \quad (20)$$

Ako u ovim jednačinama izvršimo naznačena množenja i uzmemo u obzir jednačine (13), koje odgovaraju prvoj, odn. drugoj putanji,

jednačine (20), posle očiglednih sredjivanja, postaju :

$$\left. \begin{aligned} f(E_1, E_2) &\equiv (H_1 + D \sin E_2 + C \cos E_2) \sin E_1 + (K_1 - G \sin E_2 - \\ &\quad - F \cos E_2) \cos E_1 - Z_1 \sin E_1 \cos E_1 = 0, \\ g(E_1, E_2) &\equiv (H_2 + F \sin E_1 + C \cos E_1) \sin E_2 + (K_2 - G \sin E_1 - \\ &\quad - D \cos E_1) \cos E_2 - Z_2 \sin E_2 \cos E_2 = 0, \end{aligned} \right\} \quad (21)$$

gde smo za konstantne veličine uveli oznake :

$$\left. \begin{aligned} A_{1x} A_{2x} + A_{1y} A_{2y} + A_{1z} A_{2z} &= C, & a_1^2 e_1 - C e_2 &= H_1, \\ A_{1x} B_{2x} + A_{1y} B_{2y} + A_{1z} B_{2z} &= D, & a_2^2 e_2 - C e_1 &= H_2, \\ A_{2x} B_{1x} + A_{2y} B_{1y} + A_{2z} B_{1z} &= F, & F e_2 = K_1, & a_1^2 e_1^2 = Z_1, \\ B_{1x} B_{2x} + B_{1y} B_{2y} + B_{1z} B_{2z} &= G, & D e_1 = K_2, & a_2^2 e_2^2 = Z_2. \end{aligned} \right\} \quad (22)$$

Izrazi (22) izračunavaju se, pomoću poznatih putanjskih elemenata uočenih planetoida, iz jednačina (7), (9) i (12).

Tako smo za određivanje najmanjeg rastojanja dveju eliptičnih putanja, dakle za rešenje postavljenog geometrijskog problema, dobili jednačine (21). Njih možemo kraće napisati u obliku :

$$\left. \begin{aligned} f(E_1, E_2) &\equiv X_2 \sin E_1 + Y_2 \cos E_1 - Z_1 \sin E_1 \cos E_1 = 0, \\ g(E_1, E_2) &\equiv X_1 \sin E_2 + Y_1 \cos E_2 - Z_2 \sin E_2 \cos E_2 = 0, \end{aligned} \right\} \quad (23)$$

gde su :

$$\left. \begin{aligned} H_2 + F \sin E_1 + C \cos E_1 &= X_1 = X_1(E_1), \\ K_2 - G \sin E_1 - D \cos E_1 &= Y_1 = Y_1(E_1), \\ H_1 + D \sin E_2 + C \cos E_2 &= X_2 = X_2(E_2), \\ K_1 - G \sin E_2 - F \cos E_2 &= Y_2 = Y_2(E_2). \end{aligned} \right\} \quad (24)$$

Rešavanje jednačina (23) - koje važe i u opštem slučaju - znatno je olakšano i pojednostavljeno kad se radi o putanjama kvazikomplanarnih planetoida. Kako su ovo transcendentne jednačine, mogu se rešavati sukcesivnim aproksimacijama, polazeći od dovoljno približnih vrednosti, E_{10} i E_{20} , nepoznatih, i odre-

djuju se uzastopne, i to sve manje i manje, popravke : $\Delta E_{10}, \Delta E_{20}, \Delta E_{11}, \Delta E_{21}, \dots, \Delta E_{1(k-1)}, \Delta E_{2(k-1)}$ dok se ne odrede, za svaki sistem, tj. za svako ukrštanje putanja, vrednosti

$$E_{1k} = E_{1(k-1)} + \Delta E_{1(k-1)} \quad \text{i} \quad E_{2k} = E_{2(k-1)} + \Delta E_{2(k-1)}$$

koje zadovoljavaju polazne simultane jednačine, sa tačnošću sa kojom se to želi.

Ovakvih sistema biće za rešavanje, kod svakog para planetoida, onoliko koliko se puta njihove putanje ukrštaju, odnosno jedna drugoj približuju; dakle, najčešće dva, a najviše četiri sistema.

U slučaju kvazikomplanarnih planetoida rešavanje je utoliko pojednostavljeno, što se sa grafika mogu lako odrediti već dovoljno približne vrednosti pravih anomalija, v_{10} i v_{20} , a iz ovih E_{10} i E_{20} .

Popravke ovako nadjenih polaznih približnih vrednosti određuju se iz jednačina koje se dobivaju ako se leve strane jednačina (23) razviju u Tajlorov red, pa zanemare članovi sa stepenima višim od prvog i proizvoljna veličina ΔE_{10} i ΔE_{20} . Ove možemo učiniti jer su - kao što je već rešeno - polazne vrednosti već vrlo približne. Prve popravke se određuju, dakle, iz jednačina oblika :

$$\left. \begin{aligned} f_0 + \Delta E_{10} \frac{\partial f}{\partial E_{10}} + \Delta E_{20} \frac{\partial f}{\partial E_{20}} &= 0, \\ g_0 + \Delta E_{10} \frac{\partial g}{\partial E_{10}} + \Delta E_{20} \frac{\partial g}{\partial E_{20}} &= 0, \end{aligned} \right\} \quad (25)$$

gde su uvedene oznake : $f_0 = f(E_{10}, E_{20}), g_0 = g(E_{10}, E_{20}),$ i

$$\frac{\partial f}{\partial E_{10}} = \left(\frac{\partial f}{\partial E_1} \right)_{E_1=E_{10}, E_2=E_{20}}, \quad \frac{\partial f}{\partial E_{20}} = \left(\frac{\partial f}{\partial E_2} \right)_{E_1=E_{10}, E_2=E_{20}},$$

$$\frac{\partial g}{\partial E_{10}} = \left(\frac{\partial g}{\partial E_1} \right)_{E_1=E_{10}, E_2=E_{20}}, \quad \frac{\partial g}{\partial E_{20}} = \left(\frac{\partial g}{\partial E_2} \right)_{E_1=E_{10}, E_2=E_{20}}.$$

Rešavanjem sistema (25) dobivamo za nepoznate

vrednosti približnih popravaka, zbog učinjenih zanemarivanja kod razvijanja u red :

$$\Delta E_{10} = \frac{E_0 \frac{\partial f}{\partial E_{20}} - f_0 \frac{\partial E}{\partial E_{20}}}{\frac{\partial f}{\partial E_{10}} \frac{\partial E}{\partial E_{20}} - \frac{\partial f}{\partial E_{20}} \frac{\partial E}{\partial E_{10}}} \cdot \Delta E_{20} = \frac{f_0 \frac{\partial E}{\partial E_{10}} - E_0 \frac{\partial f}{\partial E_{10}}}{\frac{\partial f}{\partial E_{10}} \frac{\partial E}{\partial E_{20}} - \frac{\partial f}{\partial E_{20}} \frac{\partial E}{\partial E_{10}}} \cdot \Delta E_{20} \quad (26)$$

Ove popravke dobivaju se u radijanima. Da bismo ih dobili u stepenima, treba te vrednosti pomnožiti vrednošću radijana u stepenima. Ovakvo dobivene popravke mogu se sad, na sličan način, još popraviti, i dobiti približnija rešenja :

$$E_{12} = E_{11} + \Delta E_{11}, \quad E_{22} = E_{21} + \Delta E_{21}.$$

Postupak se ponavlja dok se aproksimacija ne zaustavi, tj. ne dobi vrednosti ekscentričnih anomalija u istom ~~parovima~~ u dvema uzastopnim aproksimacijama. Postupak je vrlo konvergentan : sa dve, najviše tri, aproksimacije dolazi se do traženog rešenja.

Parcijalni izvodi u izrazima (26) određuju se iz jednačina (23) i (24) i dobivaju :

$$\left. \begin{aligned} f'_{E_1} &= \frac{\partial f}{\partial E_1} = X_2 \cos E_1 - Y_2 \sin E_1 + Z_1 (\sin^2 E_1 - \cos^2 E_1), \\ f'_{E_2} &= \frac{\partial f}{\partial E_2} = X_2 \sin E_1 - Y_2 \cos E_1, \\ E'_{E_1} &= \frac{\partial E}{\partial E_1} = X_1 \sin E_2 - Y_1 \cos E_2, \\ E'_{E_2} &= \frac{\partial E}{\partial E_2} = X_1 \cos E_2 - Y_1 \sin E_2 + Z_2 (\sin^2 E_2 - \cos^2 E_2); \end{aligned} \right\} \quad (27)$$

gde su :

$$\left. \begin{aligned} X_1 &= F \cos E_1 - C \sin E_1, & Y_1 &= G \cos E_1 - D \sin E_1, \\ X_2 &= D \cos E_2 - C \sin E_2, & Y_2 &= G \cos E_2 - F \sin E_2. \end{aligned} \right\} \quad (28)$$

Sa ovako nadjenim parovima vrednosti ekscentričnih anomalija izračunavaju se, pomoću jednačina (11), pravouglo heliocentrične ekliptičke koordinate za tačke ukrštanja putanja oba planetoida. Zatim, pomoću (16), za svaku tačku ukrštanja putanja, izračunavaju se vrednosti ρ i, iz tako dobivenih, uzima se manja od dveju, ili najmanja od

četiri. Tako se dobiva najmanje rastojanje dveju eliptičnih putanja. Sa vrednostima ekscentričnih anomalija za položaj proksimiteta možemo preći na vrednosti pravih anomalija, a, potom, izračunati i sferne heliocentrične ekliptičke koordinate što odgovaraju položajima proksimiteta dveju putanja planetoida.

4. Kvazikomplanarnost planetoida (589) Croatia i

(1564) Srbija . - Kao što je već i u Uvodu pomenuto, u ovoj studiji ćemo ispitati osobenosti kvazikomplanarnosti dvaju planetoida : (589) Croatia i (1564) Srbija, koji su za nas - kao što rekosmo - od posebnog interesa i značaja.

Prvi od ovih planetoida otkrio je A. Kopff, u vreme dok je bio astronom Hajdelberške opservatorije, 3. marta 1906, /12/. Do numerisanja označavan je kao 1906 TM. Iste godine dobio je svoj redni broj : 589, /13/. Naziv Croatia dobio je 1909, /14/.

Drugi je prvi pronađen planetoid na Beogradskoj astronomskoj opservatoriji. Pronašao ga je, 15. oktobra 1936, M. Protić, onda opservator. Do numerisanja označavan je kao 1936 TB. Svoj redni broj, 1564, i naziv Srbija dobio je, po predlogu profesora V. V. Miškovića (1952).

Za ispitivanja koja će biti predmet ovoga rada poslužili smo se sistemima putanjskih elemenata iz 1938. godine. Izabrali smo te sisteme iz obzira homogenosti ; što su, sa oba planetoida, isti izvedeni bili uzimajući u obzir poremećaje Jupitera.

Svedeni na ekvinoxij i ekliptiku za 1950.0, kao polazni elementi dvaju planetoida usvojeni su sistemi /15, 16/ :

I tablica

Planetoid	(589) Croatia	(1564) Srbija
Epoha	1925. januar 1.0 UV	1936. novembar 12.0 UV
M	273°075	349°0107
ω	217.136	230.3606
Ω	179.296	178.7569
i	10.782	10.9857
φ	2.282	12.2161
e	0.039 8179	0.211 5994
μ	639 ⁿ .369	634 ⁿ .8996
a	3.1345	3.1492

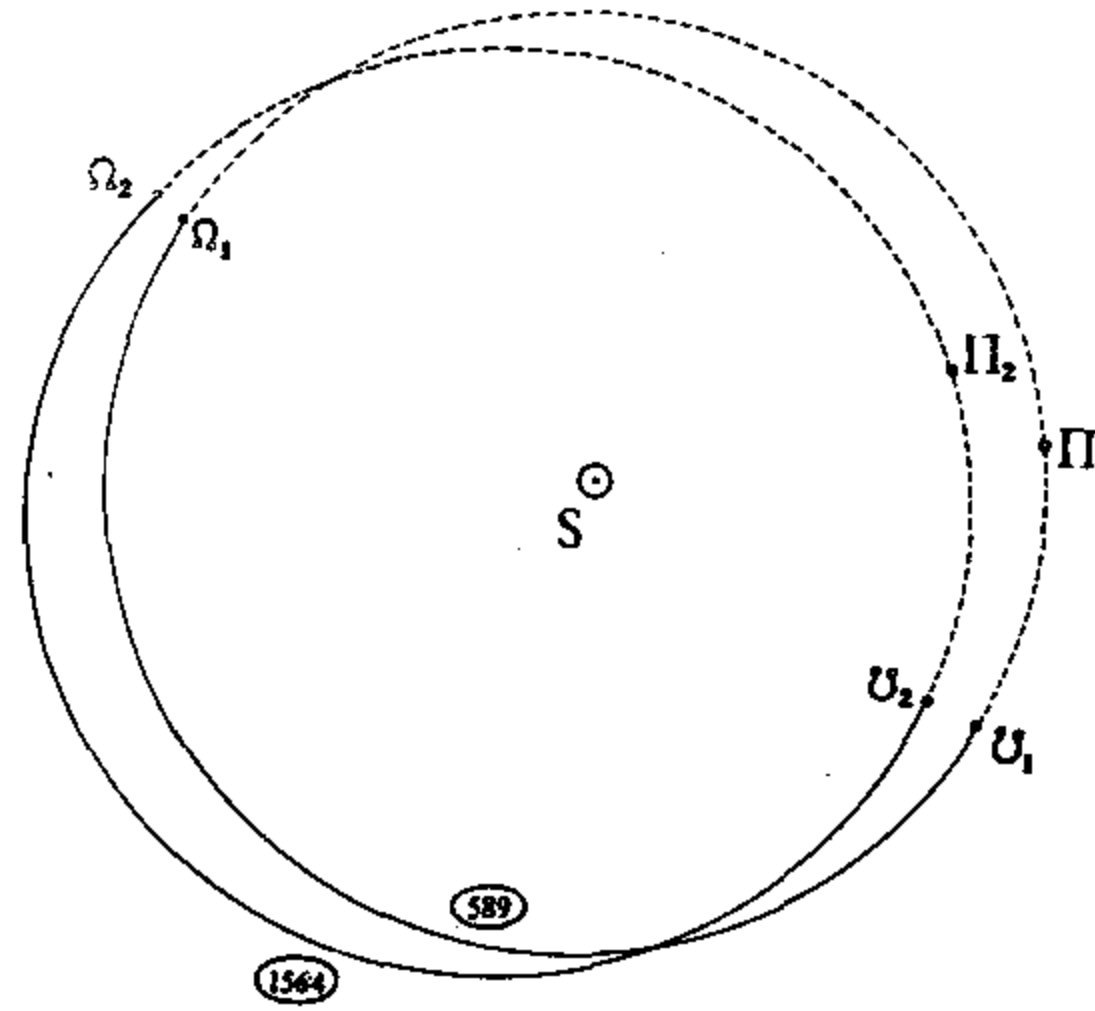
Da bismo pojednostavili pisanje, obeležavaćemo u daljem tekstu planetoida samo njihovim rednim brojevima, a razne veličine i podatke koji se na njih odnose indeksima : 1 za (589) Croatia, 2 za (1564) Srbija. Kvasikomplanarnost, kao i razlike ostalih elemenata „naših“ planetoida mogu se videti iz ovih podataka :

Planetoidi	$\Delta\Omega$	Δi	$\Delta\omega$	$\Delta\varphi$	Δe	$\Delta\mu$	Δa
(589) - (1564)	0°539	-0°204	-13°225	-9°934	-0.17178	4 ⁿ .469	-0.0147

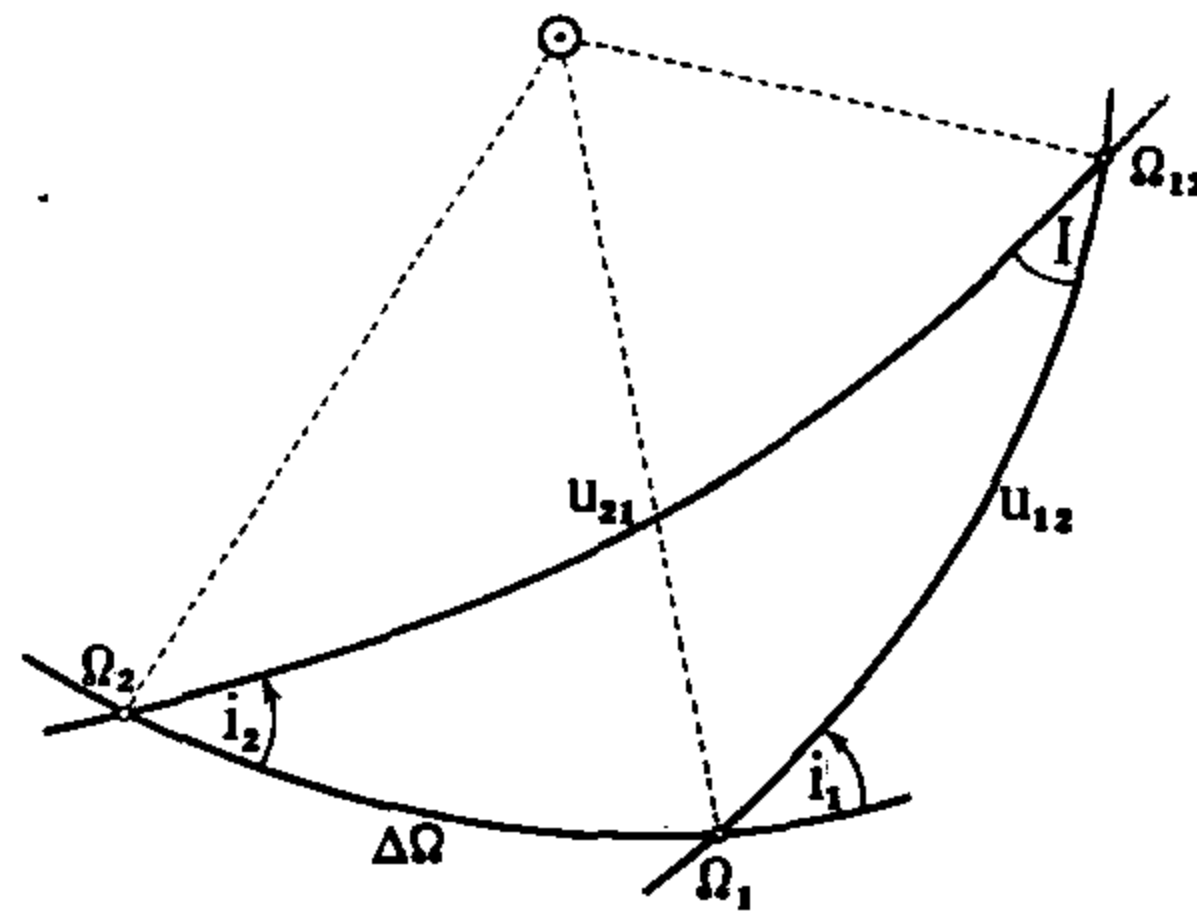
Ovi podaci pokazuju da se putanje „naših“ planetoida najviše razlikuju u njihovoj ekscentričnosti, dakle elementu φ , ili e. Interesantno je za problem kojim ćemo se mi ovde pozabaviti i način kretanja dvaju planetoida da su im putanje dosta približno podjednake i orijentisane i, približno, istih dimenzija (v. sliku 1).

5. Relativni položaji putanja i planetoida. - Na slici 2, kojom su šematski predstavljani, na nebeskoj sferi, položaji projekcija delova putanja vođenih planetoida, i jedne prema drugoj, i

ve taške, uglovi i
 određivanju relativ-
 jima.



ložaja putanja, -
 (ekliptiku) uslasnih
 lnog uslasnog, odn.



drugog planetoida; I
 vrednostima i_1 , i_2
 sni švor putanje pr-

vog prema drugom nalazi iznad ekliptičke ravni, a relativni silazni čvor ispod ekliptičke ravni. Uglove daljine od uzlaznih čvorova uzlaznog relativnog čvora su u_{12} i u_{21} , a silaznog $u_{12} = u_{12} + 180^\circ$ i $u_{21} = u_{21} + 180^\circ$.

Pomoću Neperovih analogija :

$$\left. \begin{aligned} \operatorname{tg} \frac{u_{21} + u_{12}}{2} &= \sin \frac{i_1 + i_2}{2} \operatorname{cosec} \frac{i_1 - i_2}{2} \operatorname{tg} \frac{\Delta \delta}{2} , \\ \operatorname{tg} \frac{u_{21} - u_{12}}{2} &= \cos \frac{i_1 + i_2}{2} \operatorname{sec} \frac{i_1 - i_2}{2} \operatorname{tg} \frac{\Delta \delta}{2} , \\ \operatorname{tg} \frac{I}{2} &= \sin \frac{u_{21} - u_{12}}{2} \operatorname{cosec} \frac{u_{21} + u_{12}}{2} \operatorname{tg} \frac{i_1 + i_2}{2} \end{aligned} \right\} (29)$$

nalazimo za vrednosti koje karakterišu relativne položaje putanja naših dvaju planetoida :

$$\begin{aligned} I &= 0^\circ 13' 39.79'' = 0.22772, \\ u_{12} &= 153.183, \quad u_{21} = 153.712 \quad (\text{relat. uzl. čvor}). \end{aligned} \quad (30)$$

Vrednosti za relativni silazni čvor dobivaju se dodavanjem 180° nadjenim vrednostima za relativni uzlazni čvor.

Ako se, sad, od ovih vrednosti oduzmu odgovarajuće, poznate, vrednosti argumenata latituda perihela (ω_1, ω_2), dobivaju se za prave anomalije relativnog uzlaznog čvora vrednosti :

$$v_{12} = 296.047, \quad v_{21} = 283.352. \quad (31)$$

Dodavanjem 180° nalazimo vrednosti pravih anomalija uočenog relativnog silaznog čvora.

Heliocentrične ekliptičke koordinate relativnih čvorova izračunavaju se iz elemenata putanja (I tablica) i vrednosti (30) pomoću obrazaca :

$$\operatorname{tg}(l - \delta) = \cos i \operatorname{tg} u, \quad \operatorname{tg} b = \operatorname{tg} i \sin(l - \delta). \quad (32)$$

I dobivaju se za njihove vrednosti :

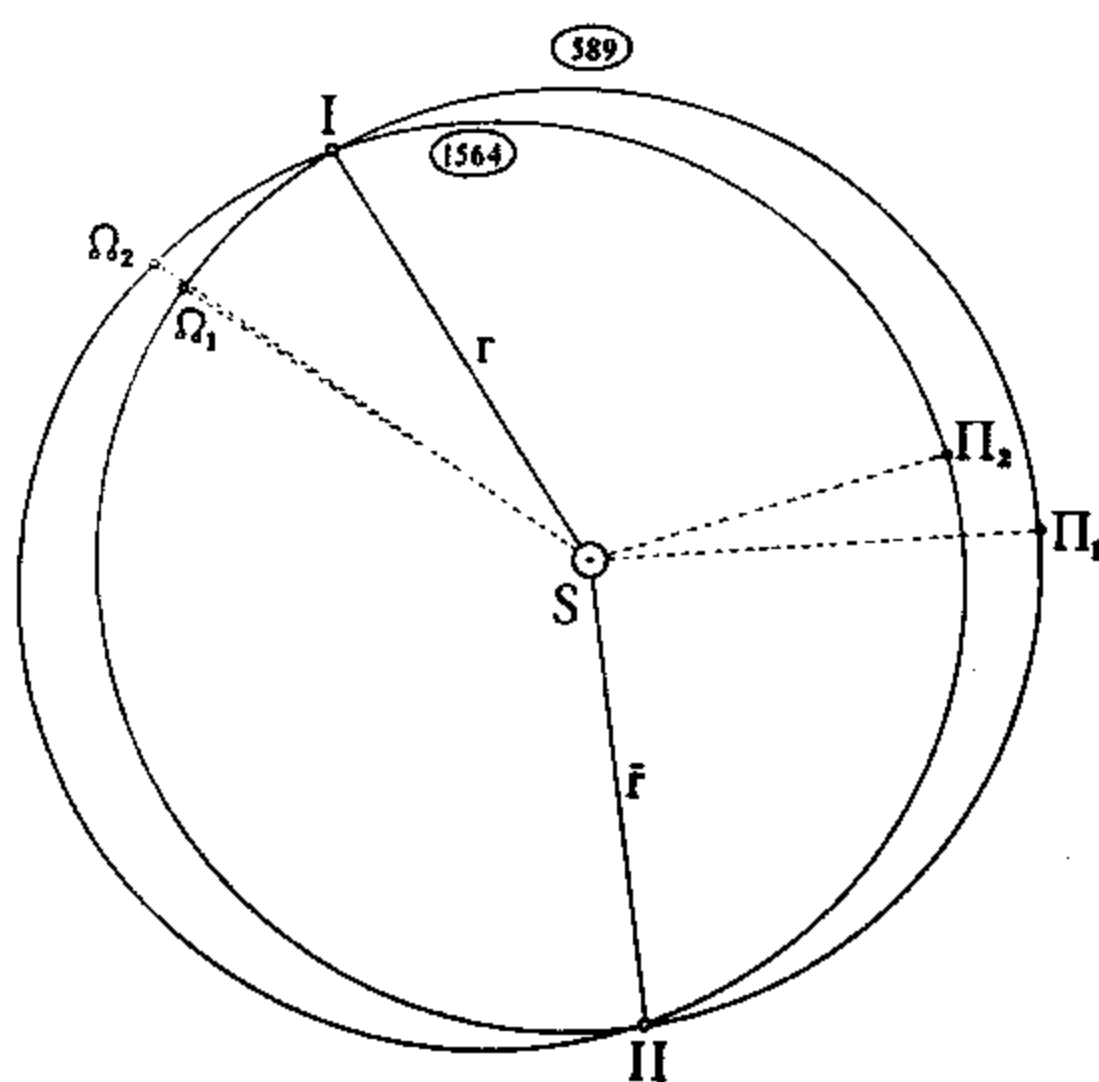
$$\begin{aligned} l &= 88.887, \quad b = +4.841 \quad (\text{relat. uzl. čvor}), \\ l &= 192.887, \quad b = -4.841 \quad (\text{relat. sil. čvor}). \end{aligned} \quad (33)$$

b) Odredjivanje polaznog položaja u proksimitetu. -

Za odredjivanje najmanjeg rastojanja, ili položaja proksimiteta, dvaju putanja, trebalo bi poznavati položaje tačaka na svakoj od putanja ovog proksimiteta. Kako su naši planetoidi kvazikomplanarni, moći ćemo približne vrednosti pomenutih nepoznatih uglova lako sa grafika odrediti.

Zbog malih razlika u vrednostima longituda uzlaznih čvorova i nagiba putanja, a s obzirom da ni razlika u ekscentričnosti nije prevelika, možemo očekivati da će se položaji traženog proksimiteta nalaziti oko jednog od relativnih čvorova, što ćemo kasnije i pokazati.

Kako je i relativni nagib, I , malen, uzećemo kao da se putanje oba planetoida nalaze u istoj ravni. Ako se poznatim putanjakim elementima konstruišemo dovoljno precizno i u dovoljno velikoj razmeri obe putanje, u istoj ravni, moći ćemo, sa tog crteža, neposredno prečitati i broj svih ukrštanja putanja i - što



Sl. 3

je naročito važno - dovoljno približne, polazne, vrednosti pravih anomalija tačaka ukrštanja; dakle položaja mogućih proksimiteta.

Za ove tačke ukrštanja možemo odrediti sa grafikom i približne vrednosti potega.

Sa crteža u razmeri 85 mm za 1 astronomsku jedinicu dobili smo, sa naše planetoide, dva preseka putanja, za koje su, sa crteža (sl. 3), pročitane približne vrednosti pravih anomalija i potega :

$$\begin{aligned} \text{za prvu tačku: } v_{10} &= 118^{\circ}6, \quad v_{20} = 105^{\circ}4, \quad r = 271.5 \text{ mm, ili } 3.194 \text{ AJ,} \\ \text{za drugu tačku: } \bar{v}_{10} &= 273^{\circ}8, \quad \bar{v}_{20} = 260^{\circ}6, \quad \bar{r} = 265.5 \text{ mm, ili } 3.124 \text{ AJ.} \end{aligned} \quad (34)$$

Uporedimo li vrednosti (34) sa vrednostima (31), tj. prave anomalije nadjenih tačaka preseka „putanja“ sa osima sa relativne čvorove, vidimo da je uzlaznom čvoru bliža druga tačka preseka, a silaznom relativnom čvoru bliža prva tačka. Za razlike pravih anomalija dobivaju se, u smeru

$$\begin{aligned} \text{relat. uzl. čvor - druga tačka: } \Delta \bar{v}_1 &= 22^{\circ}2, \quad \Delta \bar{v}_2 = 22^{\circ}8, \\ \text{prva tačka - relat. sil. čvor: } \Delta v_1 &= 2^{\circ}6, \quad \Delta v_2 = 2^{\circ}0. \end{aligned} \quad (35)$$

Po donjim razlikama (35), koje su znatno manje od gornjih, može se zaključiti da će proksimitet, u našem slučaju, biti oko prve tačke preseka (na grafiku) i u blizini relativnog silaznog čvora. Ovaj zaključak će, kasnije, biti i potvrđen.

Na ovom mestu možemo konstatovati i istaći da je postupak, kojim su gornji položaji i približne vrednosti, koje ih određuju, nadjeni, neuporedivo brži i jednostavniji od dosadašnjih i, u isti mah, i bar isto onoliko tačan koliko i postupak zasnovan na izvlačenju intersekata.

Prima napred rečenome, vrednosti za drugu tačku nemaju više značaja za naš problem. Ne mi ćemo ih, ipak, sadržati, da bismo i na njima proverili ranije izvedene zaključke. Ako sa pravih anomalija (34), sa prvu i drugu tačku, na obama putanjama, predjemo na ekscentrične, nalazimo

$$\begin{aligned} \text{za prvu „tačku“ : } E_{10} &= 116^{\circ}577, \quad E_{20} = 93^{\circ}277, \\ \text{za drugu „tačku“ : } \bar{E}_{10} &= 276.074, \quad \bar{E}_{20} = 272.866, \end{aligned} \quad (36)$$

gde je indeksom o označeno da se radi o približnim polaznim vrednostima položaja proksimiteta putanja. Oznakom „tačka“ hteli smo da istaknemo i upozorimo da su to, u stvari, dve tačke u prostoru.

Sa grafika smo mogli izvući još jedan interesantan podatak : name, ianos za koliko treba otprilike očekivati da će položaji proksimiteta biti udaljeni od uzlaznih čvorova. U našem slučaju je, uglavnom, ocenjeno da je prva tačka, oko koje se može očekivati najmanje rastojanje, udaljena od uzlaznih čvorova planetoida :

$$589 \dots\dots 24^{\circ}5, \quad 1564 \dots\dots 24^{\circ}0. \quad (37)$$

To su najmanje uglovne daljine, ovde računato od čvorova u retrogradnom smeru. Dakle, i ovi podaci idu u prilog prednosti postupka sa grafikom.

6. Izračunavanje najmanjeg rastojanja putanja. -

Numerički rad je izvršen sa putanjskim elementima iz I tablice, pomoću jednačina (7), (9), (12), i, iz njih izvedenih potrebnih konstanta i podataka, name :

<u>II tablica</u>					
Planetoid	(589)	(1564)		(589)	(1564)
P_x	0.804 4313	0.654 2038	a	3.1345	3.1492
P_y	0.583 2113	0.741 9450	b	3.132 014	3.077 891
P_z	-0.112 9375	-0.146 7485	A_x	2.521 4999	2.060 2186
Q_x	-0.594 0412	-0.756 3071	A_y	1.828 0758	2.336 5332
Q_y	0.790 4896	0.642 8220	A_z	-0.354 0026	-0.462 1404
Q_z	-0.149 1353	-0.121 5710	B_x	-1.860 5454	-2.327 8309
e	0.039 8179	0.211 5994	B_y	2.475 8245	1.978 5361
$\cos \psi$	0.999 2069	0.977 3564	B_z	-0.467 0938	-0.374 1823

Sa vrednostima iz gornje tablice, pomoću jednačina (22), dobivaju se za konstante sistema (23) :

$$\begin{array}{ll}
 C = 9.629\ 7791, & H_2 = 1.715\ 0911, \\
 D = -2.120\ 2266, & K_1 = 0.458\ 6584, \\
 F = 2.167\ 5788, & K_2 = -0.084\ 4230, \\
 G = 9.404\ 3215, & Z_1 = 0.015\ 5777, \\
 H_1 = -1.646\ 4410, & Z_2 = 0.444\ 0474.
 \end{array} \quad (38)$$

U poglavlju 5. b) dobivena su dva para polarnih vrednosti za ekscentrične anomalije (36). Za svaki par račun je izveden posebno, pomoću obrazaca : (22), odn. vrednosti (38); (24), (23); f i g su leve strane uslovnih jednačina (23) sa proksimitet. Njihovi iznosi nam služe kao merilo za približnost iskorišćenih vrednosti ekscentričnih anomalija. A zatim su korišćeni obrasci : (28), (27), (26) i izrazi za E_{1k} i E_{2k} ($k=1, 2, 3, \dots$) sa str. 14. Napominjemo da se kod ekscentričnih anomalija obeleženih sa dva indeksa, prvi odnosi na planetoid, a drugi na redni broj aproksimacije iz koje je ta vrednost dobivena. Dobivene vrednosti u računu sa drugim parom ekscentričnih anomalija obeležavane su još i poleženom crtom iznad slova.

Za prvi par, I aproksimacija (numerička) dala je :

$$\begin{array}{l}
 E_{10} = 116.577, \sin E_{10} = 0.894\ 3339, \cos E_{10} = -0.447\ 4001; \\
 E_{20} = 93.277, \sin E_{20} = 0.998\ 3648, \cos E_{20} = -0.057\ 1633; \\
 X_{10} = -0.654\ 7338, X_{20} = -4.313\ 6706; \quad \underline{\underline{f_0 = 0.088\ 3461}} \\
 Y_{10} = -9.443\ 6161, Y_{20} = -8.806\ 3792; \quad \underline{\underline{g_0 = -0.088\ 4932}} \\
 \chi_{10} = -9.582\ 0129, \chi_{20} = -9.492\ 8333; \\
 \psi_{10} = -2.311\ 3039, \psi_{20} = -2.703\ 6164; \\
 f'_{E_{10}} = 9.815\ 1215, f'_{E_{20}} = -9.698\ 4661; \\
 g'_{E_{10}} = -9.698\ 4662, g'_{E_{20}} = 9.906\ 7460; \\
 f_0 f'_{E_{20}} - f'_0 g'_{E_{20}} = -0.016\ 9740\ 73, f_0 g'_{E_{10}} - f'_0 f_{E_{10}} = 0.011\ 7498\ 45, \\
 f'_{E_{10}} g'_{E_{20}} - f'_{E_{20}} g'_{E_{10}} = 3.175\ 6700;
 \end{array}$$

$$\Delta E_{10} = - 0.005\ 3450 \text{ rad, dakle } \underline{\Delta E_{10} = - 0^{\circ}3062,}$$

$$\Delta E_{20} = 0.003\ 7000 \text{ rad, dakle } \underline{\Delta E_{20} = 0^{\circ}2120,}$$

$$E_{11} = 116^{\circ}2708,$$

$$E_{21} = 93.4890.$$

Na sličan način dala je II aproksimacija :

$$\underline{f_1 = - 0.000\ 0405, \quad g_1 = 0.000\ 0519,}$$

$$\Delta E_{11} = - 0.000\ 0339 \text{ rad, ili } \underline{\Delta E_{11} = - 0^{\circ}0019,}$$

$$\Delta E_{21} = - 0.000\ 0385 \text{ rad, ili } \underline{\Delta E_{21} = - 0^{\circ}0022,}$$

$$E_{12} = 116^{\circ}2839,$$

$$E_{22} = 93.4868.$$

(39)

Pokazalo se da su ove vrednosti (39) dovoljne. Znači, sa dve aproksimacije dobivena su tražena rešenja (sa prvim parom polaznih vrednosti), jer je za ove vrednosti :

$$\underline{f_2 = 0.000\ 0059, \quad g_2 = - 0.000\ 0058,}$$

$$\Delta E_{12} = - 0.000\ 0007 \text{ rad, ili } \underline{\Delta E_{12} = 0^{\circ}0000,}$$

$$\Delta E_{22} = - 0.000\ 0001 \text{ rad, ili } \underline{\Delta E_{22} = 0^{\circ}0000.}$$

Uzimajući da su $\underline{E_{12} = E_1}$ i $\underline{E_{22} = E_2}$ nalazimo (sa prvi par položaja) :

$$\sin E_1 = 0.896\ 7268, \quad \cos E_1 = -0.442\ 5845, \quad (\cos E_1 - e_1) = -0.482\ 4024;$$

$$\sin E_2 = 0.998\ 1488, \quad \cos E_2 = -0.060\ 8186, \quad (\cos E_2 - e_2) = -0.272\ 4180.$$

Sa ovim vrednostima (i ovima iz II tablice), pomoću jednačina (11), nađjene su, za heliocentrične ekliptičke pravougle koordinate planetoida :

$$x_1 = - 2.894\ 7737, \quad x_2 = - 2.894\ 7622,$$

$$y_1 = 1.338\ 2700, \quad y_2 = 1.338\ 3597,$$

$$z_1 = - 0.248\ 0833, \quad z_2 = - 0.247\ 5942;$$

a za njihove razlike :

$$x_2 - x_1 = 0.000\ 0115,$$

$$y_2 - y_1 = 0.000\ 0897,$$

$$z_2 - z_1 = 0.000\ 4896,$$

i za rastojanje putanja :

$$\underline{\rho = 0.000\ 496\ \text{AJ}}. \quad (40)$$

Što iznosi, približno,

$$74\ 500\ \text{km} \approx 0.2\ \text{srednjeg rastojanja Zemlja - Mesec} \approx (40^\circ) \\ \approx 6\ \text{Zemljinih ekvatorskih prečnika.}$$

Za drugi par, I aproksimacija dala je :

$$\bar{E}_{10} = 276^\circ 074, \quad \underline{\bar{f}_0 = 0.085\ 2784}, \quad \underline{\bar{E}_0 = -0.081\ 1609},$$

$$\bar{E}_{20} = 272.866;$$

$$\Delta \bar{E}_{10} = -0.021\ 2465\ \text{rad, ili } \underline{\Delta \bar{E}_{10} = -1^\circ 2173},$$

$$\Delta \bar{E}_{20} = -0.012\ 6346\ \text{rad, ili } \underline{\Delta \bar{E}_{20} = -0^\circ 7239};$$

$$\bar{E}_{11} = 274^\circ 8567,$$

$$\bar{E}_{21} = 272.1421.$$

II aproksimacija :

$$\underline{\bar{F}_1 = -0.000\ 3201}, \quad \underline{\bar{E}_1 = 0.000\ 0613},$$

$$\Delta \bar{E}_{11} = 0.000\ 8834\ \text{rad, ili } \underline{\Delta \bar{E}_{11} = 0^\circ 0509},$$

$$\Delta \bar{E}_{21} = 0.000\ 8649\ \text{rad, ili } \underline{\Delta \bar{E}_{21} = 0^\circ 0496};$$

$$\bar{E}_{12} = 274^\circ 9076,$$

$$\bar{E}_{22} = 272.1917.$$

III aproksimacija :

$$\underline{\bar{Y}_2 = -0.000\ 0092}, \quad \underline{\bar{E}_2 = 0.000\ 0091},$$

$$\Delta \bar{E}_{12} = 0.000\ 00095\ \text{rad, ili } \underline{\Delta \bar{E}_{12} = 0^\circ 0001},$$

$$\Delta \bar{E}_{22} = 0.000\ 00002\ \text{rad, ili } \underline{\Delta \bar{E}_{22} = 0^\circ 0000};$$

$$\bar{E}_{13} = 274^{\circ}9077,$$

$$\bar{E}_{23} = 272.1917.$$

Ove vrednosti su i usvojene, kao konačne, za drugi par. Sa njima su uslovne jednačine zadovoljene :

$$\bar{Y}_3 = 0.000\ 0086, \quad \bar{Z}_3 = -0.000\ 0085.$$

Tako se, za drugi par, dobiva :

$$\bar{E}_1 = 274^{\circ}9077, \quad \sin \bar{E}_1 = -0.996\ 3338, \quad \cos \bar{E}_1 = 0.085\ 5508, \quad (\cos \bar{E}_1 - e_1) = 0.045^{\frac{7329}{V}}$$

$$\bar{E}_2 = 272.1917, \quad \sin \bar{E}_2 = -0.999\ 2685, \quad \cos \bar{E}_2 = 0.038\ 2430, \quad (\cos \bar{E}_2 - e_2) = -0.1733564,$$

$$\bar{x}_1 = 1.969\ 0393, \quad \bar{x}_2 = 1.968\ 9760, \quad \bar{x}_2 - \bar{x}_1 = -0.000\ 0633,$$

$$\bar{y}_1 = -2.383\ 1444, \quad \bar{y}_2 = -2.382\ 1418, \quad \bar{y}_2 - \bar{y}_1 = 0.001\ 0026,$$

$$\bar{z}_1 = 0.449\ 1917, \quad \bar{z}_2 = 0.454\ 0236, \quad \bar{z}_2 - \bar{z}_1 = 0.004\ 8319,$$

$$\bar{\rho} = 0.0049\ AJ.$$

Vidimo da je ova vrednost oko deset puta veća od one za prvi par, te zato ovu odbacujemo. Tako nam, za najmanje rastojanje putanja planetoida 589 i 1564, ostaje vrednost (40), za tačke na putanjama određene vrednostima ekscentričnih anomalija (39).

7. Odredjivanje trenutka prolaza planetoida kroz položaje proksimiteta. - Pošto su ovako određeni, prvo, položaji na putanjama na kojima bi se naši planetoidi našli na najmanjem međusebnom rastojanju; zatim, određene i samo to približno rastojanje; i nađeno - što je naročito interesantno i važno - da je ono (sa gledišta kosmičkih daljina) vrlo maleno, - prirodno se postavlja pitanje : mogu li se ti planetoidi, uopšte, naći na tom rastojanju, dakle stići zajedno u položaje proksimiteta; i kad će stići ?

Samo odredjivanje tog trenutka ne bi predstavljalo nikakvu teškoću. Kako srednja siderička dnevna Keplerovska kretanja naših planetoida nisu komenzurabilna, može se očekivati da će

se planetoidi moći zajedno naći, i mimoići, na izračunatom najmanjem rastojanju. Pitanje je samo da li je taj trenutak dovoljno blizak eposi (ili epochama) za koju (ili za koje) vrede polazni sistemi elemenata. Ako taj trenutak pripadao on već prošlosti, ili tek budućnosti - ne bi padao daleko od epohe elemenata, on bi još i mogao biti smatran kao stvarno rešenje, koje i nas interesuje i koje bi nam mogle poslužiti kao oslonac za dalja ispitivanja. Ali ako bi taj trenutak padao daleko od epohe za koju važe polazni sistemi elemenata, izračunavanje trenutka može se, i moralo bi se, izračunavati samo oslanjajući se na dejstvo poremećaja koje bi u nadjenom razmaku, tj. do trenutke prolaza kroz proksimitet, proizvele velike planete na putanje naših planetoida.

Vidimo, dakle, da se u svakom slučaju mora odrediti najbliži trenutak „susreta“ planetoida na položajima proksimiteta - bio on u prošlosti ili u budućnosti. Za određivanje ovog trenutka može se iskoristiti postupak koji je dao profesor **K. Kašćenić** /17/.

Kako su nam, naime, poznate vrednosti ekscentričnih anomalija proksimiteta, sa vrednosti srednjih anomalija proksimiteta nalazimo :

$$M_1 = 114^{\circ}223, \quad M_2 = 81^{\circ}386 . \quad (41)$$

Ako sad, kao polaznu, usvojimo kasniju od dveju epohe elemenata, to jest epohu planetoida 1564 i označimo je sa T_0 , biće

$$T_0 = 1936. \text{ novembar } 12.0 \text{ UV, ili } 2\,423\,484.5 \text{ JD} . \quad (42)$$

Svedemo li na ovu epohu i položaj na putanji planetoida 589, imaćemo za srednje anomalije, za epohu 1936. nov. 12.0 UV,

$$\begin{aligned} M_{10} &= 322^{\circ}627, & \mu_1 &= 639^{\prime\prime}369, \\ M_{20} &= 349.811, & \mu_2 &= 634.900. \end{aligned} \quad (43)$$

Sa vrednostima iz (41), (42) i (43) dobivamo da su kroz položaje nadjenog proksimiteta naši planetoidi prošli prvi put posle T_0 :

589 : u trenutku $T_1=1939.$ marta 15 u 14^h UV, ili 2 429 338.1 JD; (44)
 1564 : u trenutku $T_2=1938.$ aprila 15 u 6^h UV, ili 2 429 003.8 JD.

Dakle u razmaku od

$$t = T_1 - T_2 = 334.3 \text{ dana}; \quad (45)$$

i to : 589 iza 1564 .

Ako sad, po postupku izloženom u /17/, razvijemo prvo odnos srednjih sideričkih dnevnih kretanja planetoida μ_1/μ_2 u verižni razlomak; zaustavimo se pri tome na četvrtoj reduiti (8441/8382), kao njegovoj približnoj vrednosti, nalazimo, ako uzme-
 mo da razmak u prolazima planetoida kroz položaje proksimiteta ne sme biti veći od jednog dana, da 589 treba da izvrši 2980 punih obilazaka oko Sunca, računatih od T_1 , a planetoid 1564 2950 pu-
 nih obilazaka, računatih od epohe T_2 . Bitno je za nas da bi do pro-
 laza planetoida u usvojenom (dovoljno kratkom) razmaku trebalo
 s u v i š e d u g o čekati ? Zato pokušajmo da vidimo da li bi
 se prolaz planetoida kroz položaje proksimiteta, ma i nešto malo
 većem razmaku, mogao dogoditi u bližoj budućnosti.

Ako podjemo od trajanja sideričkih revolucija naših planetoida :

$$\begin{aligned} P_1 &= 2\,026.998 \text{ dana, ili } 5.54\,974 \text{ tropskih godina;} \\ P_2 &= 2\,041.266 \text{ dana, ili } 5.58\,881 \text{ tropskih godina,} \end{aligned} \quad (46)$$

za trajanje sinodičke revolucije, S , i iznos srednjeg dnevnog sino-
 dičkog kretanja planetoida nalazimo :

$$S = 289\,997.76 \text{ dana, ili } 793.9876 \text{ tropskih godina i } \mu_8 = 4.459. \quad (47)$$

Znači, drugim rečima, srednja (zakružena) vrednost vremenog razma-
 ka između dvaju uzastopnih istovremenih relativnih položaja naših
 planetoida iznosi 794 godine.

Označimo sa τ epohu proksimiteta. Ako do zajedničkog
 nailaska u položaj proksimiteta planetoid 589 treba da obavi k_1
 sideričkih revolucija, računatih od T_1 , a planetoid 1564 k_2 .

računatih od epohe T_2 , imaćemo :

$$\bar{T} = T_1 + k_1 P_1 = T_2 + k_2 P_2 \quad (48)$$

Traženu epohu proksimiteta, \bar{T} , nalazimo iz Diofant -ove jednačine

$$k_2 P_2 - k_1 P_1 = t, \quad (49)$$

u kojoj rešenja k_1 i k_2 treba da su celi brojevi, sa pozitivnim predznakom sa budućnost, negativnim sa prošlost.

Ako sad, sa približnu vrednost odnosa P_1/P_2 , rasvijena u verižni razlomak, uzmemo reduktu trećeg ranga, dakle 145/146, dobivamo da je $k_1 = k_2 = 24$. Znači, naši planetoidi bi trebale da nađine po 24 puna obilaska oko Sunca, računatih od trenutka T_1 odn. T_2 , pa da se približno nađu u konjunktiji oko izračunatog proksimiteta. Tako nalazimo da bi planetoidi kroz položaje proksimiteta prošli :

$$\begin{aligned} 589 & : \text{ julijanskog dana } 2\,477\,986, \text{ ili godine } 2072. \text{ maja } 22, \\ 1564 & : \text{ julijanskog dana } 2\,477\,988, \text{ ili godine } 2072. \text{ maja } 24, \end{aligned} \quad (50)$$

dakle, u rasnaku od dva dana, i to 1564 iza, ili posle, 589 .
Ove bi trebale, prema nađjenoj, samo približnoj, proceni očekivati kroz 109 godina, računato od 1963. godine.

II DEO

DINAMIČKI USLOVI I VAŽNIJE POSLEDICE KONJUNKCIJA PLANETOIDA OKO POLOŽAJA PROKSIMITETA

3. Promene rastejanja u preksimitetu u funkciji putanjskih elemenata. - Nadjene vrednosti i epohe i rastejanja, na način napred izložen, približne su same. Epoha je približna jer su putanjski elementi planetoida sa kojima su izvodjeni računi, pa, dakle, i izračunati trenutak ukrštanja, bili same približni. A veličina rastejanja u preksimitetu približna je jer, prvo, epoha mišljenja nije tačna; a, drugo, i podaci pomeću kojih je dobivena ta vrednost bili su same približni. Znači, stvarna epoha ukrštanja je ili nešto ranija, ili nešto kasnija od nadjene; i stvarno rastejanje u preksimitetu je ili nešto veće ili nešto manje od nadjenog. Za naša dalja ispitivanja bilo bi od interesa ako bi stvarno rastejanje putanja u preksimitetu bilo **m a n j e** od dobivene vrednosti.

Za određivanje tačnih pomenutih vrednosti trebale bi : ili raspolagati tačnim opštim teorijama kretanja obaju planetoida - kao što je poznata Levesque -ova teorija kretanja planetoida 4 Vesta - ili poznavati, bar dovoljno približno, epohu ukrštanja putanja. U prvom slučaju se mogu izračunati, sa sam trenutak (\bar{t}) preksimiteta, poremećeni putanjski elementi, uzastopnih redova, uočeni planetoida; zatim, iz tako poppravljenih elemenata, odrediti tačni položaji planetoida sa trenutak \bar{t} , pa, konačno, izračunati i samo tražene tačne rastejanje. U drugom slučaju, moguće je, i

treba - pomoću dovoljno pouzdanih putanjskih elemenata - propratiti kretanja oba planetoida, na dovoljno dugim lucima obeju putanja, do položaja proksimiteta, uzimajući pri tome u obzir što tačnija dejstva na njihova kretanja svih poremećajnih planeta. Na ovaj način bi se došlo do dovoljno tačnih: bilo samih putanjskih elemenata, bilo pravougljih heliocentričnih koordinata noćenih planetoida, za trenutak (\bar{t}) proksimiteta, pa iz njih moglo odrediti traženo tačno rastojanje u proksimitetu.

Naši planetoidi, posmatrani izdvojeni i svaki za sebe, ničim ne privlače na sebe pažnju, te je sasvim razumljivo što ne postoje teorije njihovih kretanja. Drugo rešenje - na da, samo po sebi, izlazi iz okvira ovoga rada - nije primenljivo, jer se epoha ukrštanja, ako je iole udaljenija od polazne epohe, ne može ni približno odrediti.

Za problem koji rešavamo bilo bi, međjutim, od pravnog značaja da se zna, dovoljno unapred : prvo, pod kojim bi uslovima mogla nađena vrednost rastojanja u proksimitetu još da se smanji; i, drugo, kad bi, otprilike, taj povoljniji, bliži, proksimitet mogao naići. Možemo odmah reći da drugo pitanje ne predstavlja teškoću, kad se znaju srednja siderička dnevna kretanja planetoida. Odgovor na prvo pitanje nije, međjutim, ni jednostavan ni lak.

Mesto tačnog rešenja, mi ćemo pokušati da vidimo sa koliko bi se smanjivalo i smanjilo se nađeno rastojanje u proksimitetu, ako manjane polazne putanjske elemente naših planetoida, sa kojima je rastojanje izračunato, sa odredjene (verovatne) iznose.

Pri iznosu verovatnih promena polaznih elemenata oslonili smo se na promene koje su ti elementi pretrpeli otkako se prati kretanje ranije otkrivenog od naših dvaju planetoida, dakle planetoida 589 . U razmaku od okruglo 46 godina, koliko je

protoklo od 1906, kada su izračunati prvi elementi ovog planetoida /18/, pa do 1951, kada su izračunati njegovi najnoviji elementi (koji se i danas, 1963, navode u Efemeridama malih planeta /19/), promene u pojedinim elementima su dostizale (u apsolutnim vrednostima) :

$$\Delta a < 0.5, \quad \Delta i < 0.03, \quad \Delta \omega < 18'', \quad \Delta u < 1.3''.$$

Ako primetimo da na rastojanja najneposrednije utiču promene položaja putanjske ravni, dakle Δa i Δi , a uzmemo u obzir da, prema gornjim podacima, najveće promene, u toku vremena, pokazuje argument latituda perihela, dakle ω , - možemo se zadovoljiti iznalaženjem posmatranih promena u najjednostavnijem rastojanju putanja u funkciji promena samo ovih triju elemenata. Zadržaćemo se samo na priraštajima elemenata prvog reda, mači, više stepene od prvog, kao i proizvede priraštaja zanemarujemo.

Za izvođenje posmatranih izraza poslužiće se jednačinama (16), (11), (12) i (7).

a) Promene rastojanja u funkciji promena longituda ulaznih čvorova. - Promena rastojanja dveju putanja pri datim promenama longituda ulaznih čvorova putanja određena je izrazom

$$\Delta \rho_{1,2} = \frac{\partial \rho}{\partial \delta_1} \Delta \delta_1 + \frac{\partial \rho}{\partial \delta_2} \Delta \delta_2. \quad (51)$$

Za parcijalne izvode na desnoj strani imamo :

$$\frac{\partial \rho}{\partial \delta_1} = -\frac{1}{\rho} / (x_2 - x_1) \frac{\partial x_1}{\partial \delta_1} + (y_2 - y_1) \frac{\partial y_1}{\partial \delta_1} / \rho. \quad (52)$$

$$\frac{\partial \rho}{\partial \delta_2} = \frac{1}{\rho} / (x_2 - x_1) \frac{\partial x_2}{\partial \delta_2} + (y_2 - y_1) \frac{\partial y_2}{\partial \delta_2} / \rho.$$

gde su :

$$\begin{aligned}\frac{\partial x_j}{\partial \delta_j} &= a_j(\cos E_j - e_j) \frac{\partial P_{xj}}{\partial \delta_j} + b_j \sin E_j \frac{\partial Q_{xj}}{\partial \delta_j}, \\ \frac{\partial y_j}{\partial \delta_j} &= a_j(\cos E_j - e_j) \frac{\partial P_{yj}}{\partial \delta_j} + b_j \sin E_j \frac{\partial Q_{yj}}{\partial \delta_j}, \quad (j=1, 2) \\ \frac{\partial z_j}{\partial \delta_j} &= 0.\end{aligned}\quad (53)$$

Kako za parcijalne izvode vektorskih konstantata imamo, iz (7) :

$$\begin{aligned}\frac{\partial P_{xj}}{\partial \delta_j} &= -\cos \omega_j \sin \delta_j - \sin \omega_j \cos \delta_j \cos i_j = -P_{yj}, \\ \frac{\partial P_{yj}}{\partial \delta_j} &= \cos \omega_j \cos \delta_j - \sin \omega_j \sin \delta_j \cos i_j = P_{xj}, \\ \frac{\partial P_{zj}}{\partial \delta_j} &= 0,\end{aligned}\quad (j=1, 2) \quad (54)$$

$$\begin{aligned}\frac{\partial Q_{xj}}{\partial \delta_j} &= \sin \omega_j \sin \delta_j - \cos \omega_j \cos \delta_j \cos i_j = -Q_{yj}, \\ \frac{\partial Q_{yj}}{\partial \delta_j} &= -\sin \omega_j \cos \delta_j - \cos \omega_j \sin \delta_j \cos i_j = Q_{xj}, \\ \frac{\partial Q_{zj}}{\partial \delta_j} &= 0.\end{aligned}$$

Jednačine (53), zbog (54) i (12), postaju :

$$\begin{aligned}\frac{\partial x_j}{\partial \delta_j} &= -A_{yj}(\cos E_j - e_j) - B_{yj} \sin E_j, \\ \frac{\partial y_j}{\partial \delta_j} &= A_{xj}(\cos E_j - e_j) + B_{xj} \sin E_j, \quad (j=1, 2) \\ \frac{\partial z_j}{\partial \delta_j} &= 0.\end{aligned}\quad (55)$$

b) Promena rastejanja u funkciji promena nagiba -

Promena rastejanja dveju putanja pri datim promenama nagiba putanja određena je izrazom

$$\Delta \mathcal{S}_{i_1, i_2} = \frac{\partial \mathcal{S}}{\partial i_1} \Delta i_1 + \frac{\partial \mathcal{S}}{\partial i_2} \Delta i_2. \quad (56)$$

Za parcijalne izvode na desnoj strani imamo :

$$\begin{aligned}\frac{\partial \mathcal{F}}{\partial I_1} &= -\frac{1}{\rho} / (x_2 - x_1) \frac{\partial x_1}{\partial I_1} + (y_2 - y_1) \frac{\partial y_1}{\partial I_1} + (z_2 - z_1) \frac{\partial z_1}{\partial I_1} /, \\ \frac{\partial \mathcal{F}}{\partial I_2} &= \frac{1}{\rho} / (x_2 - x_1) \frac{\partial x_2}{\partial I_2} + (y_2 - y_1) \frac{\partial y_2}{\partial I_2} + (z_2 - z_1) \frac{\partial z_2}{\partial I_2} /,\end{aligned}\quad (57)$$

gde su :

$$\begin{aligned}\frac{\partial x_j}{\partial I_j} &= a_j (\cos \epsilon_j - e_j) \frac{\partial P_{xj}}{\partial I_j} + b_j \sin \epsilon_j \frac{\partial Q_{xj}}{\partial I_j}, \\ \frac{\partial y_j}{\partial I_j} &= a_j (\cos \epsilon_j - e_j) \frac{\partial P_{yj}}{\partial I_j} + b_j \sin \epsilon_j \frac{\partial Q_{yj}}{\partial I_j}, \quad (j=1,2) \\ \frac{\partial z_j}{\partial I_j} &= a_j (\cos \epsilon_j - e_j) \frac{\partial P_{zj}}{\partial I_j} + b_j \sin \epsilon_j \frac{\partial Q_{zj}}{\partial I_j}.\end{aligned}\quad (58)$$

Kako za parcijalne izvode vektorskih konstanta imamo, iz (7) :

$$\begin{aligned}\frac{\partial P_{xj}}{\partial I_j} &= \sin \omega_j \sin \delta_j \sin i_j = P_{xj} \sin \delta_j, \\ \frac{\partial P_{yj}}{\partial I_j} &= -\sin \omega_j \cos \delta_j \sin i_j = -P_{xj} \cos \delta_j, \\ \frac{\partial P_{zj}}{\partial I_j} &= \sin \omega_j \cos i_j, \\ \frac{\partial Q_{xj}}{\partial I_j} &= \cos \omega_j \sin \delta_j \sin i_j = Q_{xj} \sin \delta_j, \\ \frac{\partial Q_{yj}}{\partial I_j} &= -\cos \omega_j \cos \delta_j \sin i_j = -Q_{xj} \cos \delta_j, \\ \frac{\partial Q_{zj}}{\partial I_j} &= \cos \omega_j \cos i_j,\end{aligned}\quad (j=1,2) \quad (59)$$

jeđnađine (58), zbog (59) i (12), postaju :

$$\begin{aligned}\frac{\partial x_j}{\partial I_j} &= A_{xj} (\cos \epsilon_j - e_j) \sin \delta_j + B_{xj} \sin \delta_j \sin \epsilon_j, \\ \frac{\partial y_j}{\partial I_j} &= -A_{xj} (\cos \epsilon_j - e_j) \cos \delta_j - B_{xj} \cos \delta_j \sin \epsilon_j, \quad (j=1,2) \\ \frac{\partial z_j}{\partial I_j} &= a_j \sin \omega_j \cos i_j (\cos \epsilon_j - e_j) + b_j \cos \omega_j \cos i_j \sin \epsilon_j.\end{aligned}\quad (60)$$

c) Promene rastojanja u funkciji promena argumenata latituda perihelija. - Promena rastojanja dvoju putanja pri datim promenama argumenata latituda perihela putanja određena je izra-

$$\text{som} \quad \Delta \rho_{\omega_1, \omega_2} = \frac{\partial \rho}{\partial \omega_1} \Delta \omega_1 + \frac{\partial \rho}{\partial \omega_2} \Delta \omega_2. \quad (61)$$

Za parcijalne izvode na desnoj strani imamo :

$$\frac{\partial \rho}{\partial \omega_1} = -\frac{1}{\rho} / (x_2 - x_1) \frac{\partial x_1}{\partial \omega_1} + (y_2 - y_1) \frac{\partial y_1}{\partial \omega_1} + (z_2 - z_1) \frac{\partial z_1}{\partial \omega_1}, \quad (62)$$

$$\frac{\partial \rho}{\partial \omega_2} = \frac{1}{\rho} / (x_2 - x_1) \frac{\partial x_2}{\partial \omega_2} + (y_2 - y_1) \frac{\partial y_2}{\partial \omega_2} + (z_2 - z_1) \frac{\partial z_2}{\partial \omega_2}.$$

gde su :

$$\begin{aligned} \frac{\partial x_j}{\partial \omega_j} &= a_j (\cos \delta_j - e_j) \frac{\partial P_{xj}}{\partial \omega_j} + b_j \sin \delta_j \frac{\partial Q_{xj}}{\partial \omega_j}, \\ \frac{\partial y_j}{\partial \omega_j} &= a_j (\cos \delta_j - e_j) \frac{\partial P_{yj}}{\partial \omega_j} + b_j \sin \delta_j \frac{\partial Q_{yj}}{\partial \omega_j}, \quad (j=1,2) \\ \frac{\partial z_j}{\partial \omega_j} &= a_j (\cos \delta_j - e_j) \frac{\partial P_{zj}}{\partial \omega_j} + b_j \sin \delta_j \frac{\partial Q_{zj}}{\partial \omega_j}. \end{aligned} \quad (63)$$

Kako za parcijalne izvode vektorskih konstanta imamo, iz (7) :

$$\begin{aligned} \frac{\partial P_{xj}}{\partial \omega_j} &= -\sin \omega_j \cos \delta_j - \cos \omega_j \sin \delta_j \cos i_j = -Q_{xj}, \\ \frac{\partial P_{yj}}{\partial \omega_j} &= -\sin \omega_j \sin \delta_j + \cos \omega_j \cos \delta_j \cos i_j = -Q_{yj}, \\ \frac{\partial P_{zj}}{\partial \omega_j} &= \cos \omega_j \sin i_j = -Q_{zj}, \quad (j=1,2) \\ \frac{\partial Q_{xj}}{\partial \omega_j} &= -\cos \omega_j \cos \delta_j + \sin \omega_j \sin \delta_j \cos i_j = -P_{xj}, \\ \frac{\partial Q_{yj}}{\partial \omega_j} &= -\cos \omega_j \sin \delta_j - \sin \omega_j \cos \delta_j \cos i_j = -P_{yj}, \\ \frac{\partial Q_{zj}}{\partial \omega_j} &= -\sin \omega_j \sin i_j = -P_{zj}. \end{aligned} \quad (64)$$

jednačine (63), zbog (64) i (12), postaju :

$$\begin{aligned}\frac{\partial x_j}{\partial \omega_j} &= L_{xj}(\cos E_j - e_j) - N_{xj} \sin E_j, \\ \frac{\partial y_j}{\partial \omega_j} &= L_{yj}(\cos E_j - e_j) - N_{yj} \sin E_j, \quad (j=1,2) \quad (65) \\ \frac{\partial z_j}{\partial \omega_j} &= L_{zj}(\cos E_j - e_j) - N_{zj} \sin E_j.\end{aligned}$$

gde su :

$$\begin{aligned}L_{xj} &= a_j Q_{xj}, \quad L_{yj} = a_j Q_{yj}, \quad L_{zj} = a_j Q_{zj}, \quad N_{xj} = b_j P_{xj}, \quad N_{yj} = b_j P_{yj}, \quad N_{zj} = b_j P_{zj}, \\ L_{xj}^2 + L_{yj}^2 + L_{zj}^2 &= a_j^2, \quad N_{xj}^2 + N_{yj}^2 + N_{zj}^2 = b_j^2, \quad L_{xj} N_{xj} + L_{yj} N_{yj} + L_{zj} N_{zj} = 0, \quad (j=1,2).\end{aligned} \quad (66)$$

Tako, dakle, iz jednačina (51), (56) i (61) možemo odrediti promene rastojanja u funkcijama datih promena jednog, više, ili svih elemenata : Δb_j , Δi_j , $\Delta \omega_j$ ($j=1,2$), gde svaka od ovih promena može biti >0 , ili <0 .

9. Izračunavanje bližih proksimiteta usled povoljnih

varijacija promena elemenata. - Sa putanjskim elementima, koji su dati u I tabeli (pogledajte 4), izvedeno je za rastojanje u proksimitetu $\rho = 498 \times 10^{-6}$ AJ. Ne ono se manja sa vremenom, jer sami putanjski elementi planetoida podleže neprekidnim promenama. Za problem pred kojim se nalazimo bilo bi, međutim - kao što je napred već rečeno - od osobitog značaja kad bi se moglo znati : treba li u **d o g l e d n o m v r e m e n u** očekivati da se nadjeni proksimitet osjetnije **s m e n j i**, usled pojedinih varijacija promena putanjskih elemenata. Ovo možemo ispitati pomoću izraza za promene iz prethodne tačke.

Prva ispitivanja smo izvršili uzimajući za promene elemenata :

$$\begin{aligned}\Delta b_j &= \pm 0.1, & \Delta i_j &= \pm 0.1, & \Delta \omega_j &= \pm 1^\circ, \\ &= \pm 0.0017453, & &= \pm 0.0017453, & &= \pm 0.0174533, \quad (67) \\ & & & & & (j=1,2) \cdot\end{aligned}$$

Uzete su vrednosti koje se mogu očekivati nakon, re-

cino, narednih nekoliko decenija.

Za obe putanje dobivene su za konstante L i N , pomoću obrazaca (66) i vrednosti iz II tablice, vrednosti :

$$\begin{aligned} L_{x1} &= -1.862\ 0221, & L_{y1} &= 2.477\ 7897, & L_{z1} &= -0.467\ 4646; \\ L_{x2} &= -2.381\ 7623, & L_{y2} &= 2.024\ 3750, & L_{z2} &= -0.382\ 8514; \\ N_{x1} &= 2.519\ 4901, & N_{y1} &= 1.826\ 6260, & N_{z1} &= -0.353\ 7218; \\ N_{x2} &= 2.013\ 5681, & N_{y2} &= 2.283\ 6259, & N_{z2} &= -0.451\ 6759. \end{aligned} \quad (68)$$

Za dobiveni proksimitet imali smo :

$$\begin{aligned} \sin B_1 &= 0.896\ 7268, & \cos B_1 - e_1 &= -0.482\ 4024; \\ \sin B_2 &= 0.998\ 1488, & \cos B_2 - e_2 &= -0.272\ 4180. \end{aligned}$$

Sa ovim vrednostima, onima iz II tablice i iz (63), a pomoću jednačina (55), (60) i (65), nalazimo za vrednosti parcijalnih izvoda heliocentričnih ekliptičkih pravenglih koordinata planetoida u navedjenom proksimitetu :

$$\begin{aligned} \frac{\partial x_1}{\partial \delta_1} &= -1.338\ 2700, & \frac{\partial y_1}{\partial \delta_1} &= -2.884\ 7737, & \frac{\partial z_1}{\partial \delta_1} &= 0; \\ \frac{\partial x_1}{\partial I_1} &= -0.003\ 0482, & \frac{\partial y_1}{\partial I_1} &= -0.248\ 0651, & \frac{\partial z_1}{\partial I_1} &= -1.302\ 7241; \\ \frac{\partial x_1}{\partial \omega_1} &= -1.361\ 0504, & \frac{\partial y_1}{\partial \omega_1} &= -2.833\ 2762, & \frac{\partial z_1}{\partial \omega_1} &= 0.542\ 6978; \\ \frac{\partial x_2}{\partial \delta_2} &= -1.338\ 3597, & \frac{\partial y_2}{\partial \delta_2} &= -2.884\ 7622, & \frac{\partial z_2}{\partial \delta_2} &= 0; \\ \frac{\partial x_2}{\partial I_2} &= -0.005\ 3714, & \frac{\partial y_2}{\partial I_2} &= -0.247\ 5359, & \frac{\partial z_2}{\partial I_2} &= -1.275\ 4616; \\ \frac{\partial x_2}{\partial \omega_2} &= -1.361\ 0057, & \frac{\partial y_2}{\partial \omega_2} &= -2.830\ 8747, & \frac{\partial z_2}{\partial \omega_2} &= 0.555\ 1354. \end{aligned} \quad (69)$$

Napominjemo da su za polarnim sistemima bile dobivene vrednosti :

$$\begin{aligned} x_2 - x_1 &= 0.000\ 0115, & y_2 - y_1 &= 0.000\ 0897, & z_2 - z_1 &= 0.000\ 4896; \\ \varphi &= 0.000\ 498. \end{aligned} \quad (7)$$

Iz (69) i (70), a na osnovi obrazaca (52), (57) i (62) nalazimo za vrednosti parcijalnih izvoda, koji u toku daljih računa ostaju kon-

stantni,

$$\frac{\partial S}{\partial b_1} = 0.550\ 5020, \quad \frac{\partial S}{\partial I_1} = 1.325\ 5020, \quad \frac{\partial S}{\partial \omega_1} = 0.008\ 2129; \quad (71)$$

$$\frac{\partial S}{\partial b_2} = -0.550\ 5020, \quad \frac{\partial S}{\partial I_2} = -1.293\ 6586, \quad \frac{\partial S}{\partial \omega_2} = 0.004\ 4378.$$

Množenjem vrednosti (71) odgovarajućim promenama (67) izračunali smo, pomoću obrazaca (51), (56) i (61), promene proksimiteta za sve moguće varijacije promena elemenata, i tako našli varijacije, tj. spregove priraštaja putanjskih elemenata, za koje se dobivaju proksimiteti $m a n j i$ od prvobitno izračunatog.

Ovde navodimo, orijentacije radi, promene proksimiteta, koje se dobivaju iz (67), (71), (51), (56) i (61), za svaku pojedinu od izabranih promena elemenata (indeks iz zagrade označava na koju se putanju odnosi odgovarajuća promena elementa) :

$$(\Delta S_{\delta})_1 = +0.000\ 9608, \quad (\Delta S_{I_1})_1 = +0.002\ 3134, \quad (\Delta S_{\omega})_1 = +0.000\ 1433; \quad (72)$$

$$(\Delta S_{\delta})_2 = -0.000\ 9608, \quad (\Delta S_{I_1})_2 = -0.002\ 2665, \quad (\Delta S_{\omega})_2 = +0.000\ 0775.$$

Iz skupa svih ovako izračunatih mogućih proksimiteta, manjih od prvobitno izračunatog (70), našli smo, za navedene varijacije promena elemenata u priloženoj III tablici, ove negativne povoljnije promene u daljinama putanja, pa, prema tome, i daljine u proksimitetu $m a n j e$ od nadjene, poredjane po veličinama :

III tablica

$\Delta \delta$		ΔI		$\Delta \omega$		$-\Delta S$ u jed. 10^{-7}	ΔJ u jed. 10^{-6}	ρ km	Zemljina ekvatorska polupreč- nika
(1)	(2)	(1)	(2)	(1)	(2)				
+0.1	-0.1	-0.1	-	-	-	3918	106	15 847	2.48
+0.1	-0.1	-	+0.1	-1°	+1°	4107	87	13 006	2.04
+0.1	-0.1	-	+0.1	-	-1	4224	76	11 362	1.78
+0.1	-0.1	-0.1	-	-1	+1	4576	40	5 980	0.94
+0.1	-0.1	-0.1	-	-	-1	4693	29	4 336	0.68
+0.1	-0.1	-	+0.1	-1	-	4882	10	1 495	0.23

Izvršili smo ova ispitivanja još i za promene elemenata :

$$\begin{aligned} \Delta \delta_j &= \pm 0^{\circ}.5, & \Delta i_j &= \pm 0^{\circ}.1, & \Delta \omega_j &= \pm 5^{\circ}, \\ &= \pm 0.008\ 72665, & &= \pm 0.001\ 7453, & &= \pm 0.087\ 2665, \end{aligned} \quad (73)$$

(j=1,2).

Orijentacije radi, navodimo, za ova ispitivanja, promene nadjenog proksimiteta, koje se dobivaju iz (73), (71), (51), (56) i (61), za svaku pojedinu od izabranih promena elemenata (crtom iznad slova označavamo da su to promene koje se odnose na druga ispitivanja, tj. za (73)):

$$\begin{aligned} (\overline{\Delta \delta_b})_1 &= \pm 0.004\ 8040, & (\overline{\Delta \varphi_i})_1 &= \pm 0.002\ 3134, & (\overline{\Delta \varphi_{\omega}})_1 &= \pm 0.000\ 7167, \\ (\overline{\Delta \delta_b})_2 &= \pm 0.004\ 8040, & (\overline{\Delta \varphi_i})_2 &= \pm 0.002\ 2665, & (\overline{\Delta \varphi_{\omega}})_2 &= \pm 0.000\ 3873. \end{aligned} \quad (74)$$

Iz skupa svih ovako izračunatih mogućih proksimiteta, manjih od prvobitno izračunatog (70), našli smo, za navedene varijacije promene elemenata, u drugim ispitivanjima, u priloženoj IV tablici, ove negativne povoljnije promene u daljinama putanja, pa, prema tome, i daljine u proksimitetu **m a n j e** od nadjene, poredjane po veličinama :

IV tablica

$\Delta \delta$		Δi		$\Delta \omega$		$-\Delta \varphi$ u jed. 10^{-7}	ΔJ u jed. 10^{-6}	ρ km	zemlji- na kv. polupreč- nika
(1)	(2)	(1)	(2)	(1)	(2)				
-	-	-0 ^o .1	-0 ^o .1	-5 ^o	+5 ^o	3763	122	18 239	2.86
$\pm 0^{\circ}.5$	$\pm 0^{\circ}.5$	-0.1	-0.1	-5	+5	3763	122	18 239	2.86
-	-	-	-	-	-5	3873	111	16 594	2.60
± 0.5	± 0.5	-	-	-	-5	3873	111	16 594	2.60
± 0.5	± 0.5	-0.1	-0.1	-	-5	4342	64	9 568	1.50
± 0.5	-	-0.1	+0.1	-5	-	4926	5	748	0.12
-	-0.5	-0.1	+0.1	-5	-	4926	5	748	0.12

Podvlađimo, međjutim, da je malo verovatno, čak vrlo malo, da upravo neku od varijacija, iz poslednjih dveju tablica, pretrpe elementi naših planetoida, i to još u vreme oko epobe kad se planetoidi budu približavali položaju proksimiteta. Ali - nisu ni

nemoguće te varijacije, u toku razmaka do narednog proksimiteta. Za nas je dovoljno i ovoliko da znamo, da bismo mogli pristupiti ispitivanjima : može li i kakve promene proizvesti u putanjskim elementima manjeg planetoida dejstvo onog većeg za vreme njihovog prolaza kroz položaj proksimiteta ?

10. Pregled obrasaca za izračunavanje poremećaja. -

Nepokretni koordinatni sistem je heliocentrični ekliptički pravougli, a pokretni je trenutni heliocentrični pravougli određen trenutnom oskulacionom putanjom poremećenog planetoida, tako da se trenutne $\xi\eta$ ravan pokretnog sistema poklapa sa oskulacionom ravni putanje u tom trenutku, dok je trenutna ζ osa normalna na trenutnoj oskulacionoj ravni. Prema tome je ξ osa usmerena u pravcu heliocentričnog položaja poremećenog planetoida, η osa je normalna na prvoj računajući u direktnom smeru ($v=90^\circ$).

Treba da ispitamo dejstvo poremećaja na putanjske elemente planetoida (1564) (označavana indeksom 2), koje bi mogle proizvesti prisustvo planetoida (589) (označavana indeksom 1).

Napominjemo da se heliocentrične ekliptičke pravougla koordinate (x_1, y_1, z_1) poremećajnog planetoida izračunavaju iz (7), (9), (12) i (11), gde samo treba uvesti indeks 1, a položaj poremećenog planetoida na trenutnoj putanji određujemo iz :

$$\begin{aligned} M &= E - e \sin E, & a^3 &= (k'' : \mu'')^2, & k &= \text{Gauss -ova konstanta,} \\ p &= a \cos^2 \varphi, & r \sin v &= a \cos \varphi \sin E, & r \cos v &= a(\cos E - \sin \varphi), \\ z &= \omega + v, & \omega &= \pi - \delta, & r &= a(1 - \sin \varphi \cos E). \end{aligned} \quad (75)$$

„Kosinusi pravaca“ koji određuju položaj trenutnog koordinatnog sistema, u odnosu na nepokretni - ekliptički koordinatni sistem dati su izrazima :

$$\begin{aligned} a_1 &= \cos \delta \cos u - \sin \delta \sin u \cos i, & b_1 &= -\cos \delta \sin u - \sin \delta \cos u \cos i, \\ a_2 &= \sin \delta \cos u + \cos \delta \sin u \cos i, & b_2 &= -\sin \delta \sin u + \cos \delta \cos u \cos i, \\ a_3 &= \sin u \sin i, & b_3 &= \cos u \sin i, \\ c_1 &= \sin \delta \sin i, & c_2 &= -\cos \delta \sin i, & c_3 &= \cos i. \end{aligned} \quad (76)$$

Ako koordinate poremećajnog planetoida transformiramo i iz nepokretnog koordinatnog sistema predjemo u pokretni, za koordinate poremećajnog planetoida u pokretnom koordinatnom sistemu imaćemo, /20/,

$$\xi_1 = a_1 x_1 + a_2 y_1 + a_3 z_1, \quad \eta_1 = b_1 x_1 + b_2 y_1 + b_3 z_1, \quad \zeta_1 = c_1 x_1 + c_2 y_1 + c_3 z_1. \quad (77)$$

Ako sa w označimo, u srednjim danima, vremeni interval u kojem ćemo računati ishode elemenata, za pomoćne veličine, u sistemu diferencijalnih jednačina u kojima figurišu komponente poremećajne sile, duž osa pokretnog koordinatnog sistema, imamo izraze:

$$\begin{aligned} \{\Omega : W\} &= \frac{F}{p} \sin u \operatorname{cosec} i, & \{\tilde{t} : S\} &= -\operatorname{cosec} \varphi \cos v, \\ \{i : W\} &= \frac{F}{p} \cos u, & \{\tilde{n} : T\} &= (1 + \frac{F}{p}) \sin v \operatorname{cosec} \varphi, \\ \{\varphi : S\} &= \sec \varphi \sin v, & \{\tilde{n} : W\} &= \frac{F}{p} \sin u \operatorname{tg} \frac{i}{2}, \\ \{\varphi : T\} &= \sec \varphi (\cos v + \cos E), & \{M_0 : S\} &= \cos \varphi (\cos v \operatorname{cosec} \varphi - 2 \frac{F}{p}), \\ \{\mu : S\} &= -\frac{3 k w}{p \sqrt{a}} \sin \varphi \sin v, & \{M_0 : T\} &= -(1 + \frac{F}{p}) \operatorname{ctg} \varphi \sin v, \\ \{\mu : T\} &= -\frac{3 k w}{r \sqrt{a}}. \end{aligned} \quad (78)$$

Kod izračunavanja poremećaja prvog reda, dok su poremećaji mali, u gornjim izrazima (78) menja se samo v , odn. u i E.

Rastojanje poremećajnog i poremećenog planetoida, ρ , određeno je jednačinom

$$\rho^2 = (\xi_1 - r)^2 + \eta_1^2 + \zeta_1^2. \quad (79)$$

koje proveravamo pomoću

$$\rho^2 = r_1^2 + r^2 - 2 \xi_1 r, \quad (80)$$

pri čemu je r_1 određeno jednačinom

$$r_1^2 = \xi_1^2 + \eta_1^2 + \zeta_1^2. \quad (81)$$

jer u pokretnom koordinatnom sistemu su: $\vec{r}_1 = \{\xi_1, \eta_1, \zeta_1\}$.

$$\vec{r}_2 = \vec{r} = \{r, 0, 0\}, \quad \vec{\xi} = \vec{r}_1 - \vec{r}.$$

Komponente poremećajne sile, S, T i W, duž osa pokretnog koordinatnog sistema, tj. u pravcima heliocentričnog radiusvektora poremećenog planetoida, normalno na ovom pravcu u putanjskoj ravni i normalno na ravni oskulacione putanje poremećenog planetoida, homogene su funkcije mase poremećajnog planetoida, m_1 , što će, u našem slučaju, biti olakšavajuća okolnost, kao što ćemo kasnije videti. Uvedimo smene :

$$\begin{aligned} K &= \rho^{-3} - r_1^{-3}, \\ H &= k'' w m_1 \sqrt{p}, \end{aligned} \quad (82)$$

gde je Gauss -ova konstanta uzeta u lučnim sekundama, jer ćemo i poremećaje izražavati u toj meri. Ona se inače može ovde uzeti i u stepenima, kada bi poremećaji bili izražavani u stepenima; međjutim, u jednačinama (78) k treba uzeti neimenovano. Poremećajna sila je određena komponentama :

$$S = H(K \xi_1 - r \rho^{-3}), \quad T = H K \zeta_1, \quad W = H K \zeta_1. \quad (83)$$

Za diferencijalne jednačine oskulacionih elemenata, kojima ćemo se koristiti sa uvedenim oznakama imamo, /11/ :

$$\begin{aligned} w \frac{d\delta}{dt} &= \{\delta : W\} W, & w \frac{d\tilde{h}}{dt} &= \{\tilde{h} : S\} S + \{\tilde{h} : T\} T + \{\tilde{h} : W\} W, \\ w \frac{di}{dt} &= \{i : W\} W, & w^2 \frac{d\mu}{dt} &= \{\mu : S\} S + \{\mu : T\} T, \\ w \frac{d\varphi}{dt} &= \{\varphi : S\} S + \{\varphi : T\} T, & w \frac{dM_0}{dt} &= \{M_0 : S\} S + \{M_0 : T\} T, \\ M &= M_0 + \mu_0(t - t_0) + \delta M, & \delta M &= \int_{t_0}^t \frac{dM_0}{dt} dt + \iint_{t_0}^t \frac{d\mu}{dt} dt^2. \end{aligned} \quad (84)$$

Ove jednačine smo rešavali mehaničkim kvadraturama, primenjujući Gauss - Ezerke -ovu šemu tabličnih razlika i njihove obrasce za izračunavanje jednostrukog i dvostrukog određenog integrala numeričkim integraljenjem, preko t.kv. centralnih tabličnih razlika, /21/ :

$$\begin{aligned} \frac{1}{w} \int_a^{a+iw} f(t) dt &= I_f(a+iw) = \frac{1}{12} f^I(a+iw) + \frac{11}{720} f^{III}(a+iw) - \\ &- \frac{191}{50400} f^V(a+iw) + \frac{2497}{3628800} f^{VII}(a+iw) - \dots + \dots, \end{aligned} \quad (85)$$

$$\begin{aligned} I_f(a - \frac{w}{2}) &= -\frac{1}{2} f(a) + \frac{1}{12} f^I(a) - \frac{11}{720} f^{III}(a) + \frac{191}{50400} f^V(a) - \\ &- \frac{2497}{3628800} f^{VII}(a) + \dots \end{aligned}$$

$$\begin{aligned} \frac{1}{w^2} \int_a^{a+iw} f(t) dt^2 &= II_f(a+iw) = \frac{1}{12} f(a+iw) - \frac{1}{240} f^{II}(a+iw) + \\ &+ \frac{31}{50400} f^{IV}(a+iw) \pm \dots \end{aligned} \quad (86)$$

$$II_f(a) = -\frac{1}{12} f(a) + \frac{1}{240} f^{II}(a) - \frac{31}{50400} f^{IV}(a) + \dots$$

11. Isračunavanje veličina koje se javljaju u obrascima za određivanje poremećaja. - U ispitivanjima kretanja poremećenog pod dejstvom poremećajnog planetoida ograničeno se ovde samo na razmak koji obuhvata i proksimitet ovih planetoida, to jest trenutak u koji bi ova dva planetoida dospela na najmanju međusobnu daljinu. Zato je i za srednji trenutak vremenog intervala, na koji će biti primenjeni prethodni obrasci, izabran trenutak proksimiteta. Taj trenutak smo označili kao 0 i od njega useli intervale od po 26 dana ranije (-) i kasnije (+). Same integrale, to jest poremećaje u elementima 1564, računali smo za rasmake: od 20 dana pre do 20 dana posle prolaza planetoida kroz položaj proksimiteta. Za vremeni razmak u šemi za integraljenje useto je $w = 2$ srednja dana.

Tablične preglede nekih isračunatih veličina, koje se javljaju u obrascima za određivanje poremećaja, dali smo na kraju ovoga rada, ne na njihovoj analizi sadržaćemo se u narednom poglavlju. Računi su uglavnom izvođjeni sa sedam decimala, a, gde je to bilo potrebno, i sa više od sedam, dok su rezultati davani samo na šest. Koč veličina ρ^{-3} , kao i onih zavisnih i od mase

poremeđajnog planetoida (za koju je, radi pojednostavljenja računskih radnji, prvo uzeta vrednost jedinične mase) decimale nisu uzimane u obzir.

Ma da nam sâm multi trenutak nije (i ne može biti) tačno poznat - razlog smo ranije naveli - to za nas ne umanjuje značaj procene dejstva u proksimitetu jednog planetoida na drugi.

Is vrednosti za velike poluose uočeni planetoida, a i is isračunatih vrednosti njihovih heliocentričnih daljina, vidi se da se naši planetoidi, uglavnom, kreću sredinom planetoidskog prstena; drugim rečima, dovoljno daleko i od Jupitera i od Marsa (od Jupitera čak i nešto dalje no od Marsa). Ovo nam je omogućilo da se pri ispitivanjima poremećaja u kretanju 1564, u pomenutom razmaku oko najjezrog proksimiteta, ograničimo samo na dejstvo planetoida 589 kao masivnijeg. Drugičije rečeno, mi smo zanemarili poremećaje od strane pomenutih velikih planeta u razmaku oko proksimiteta.

Izvođe elemenata putanje poremećenog planetoida (Srbija) isračunali smo pošavši od datih njegovih elemenata kao konstanta. I kako smo, satim, integraljenjem dobili nezmatne poremećaje, zaključili smo da ćemo se moći zadovoljiti specijalnim poremećajima prvoga reda.

Rezultati pojedinih etapa izvršenih isračunavanja pokazuju, ujedno, koliko su efikasni naša grafička metoda (kojom smo se poslužili za određivanje polarnih i ostalih vrednosti) i metoda naših numeričkih aproksimacija. Tako vidimo da su, za polarni (multi) trenutak, dobivene vrednosti :

$$\begin{aligned}
 r_1 &= 3.189\ 739, & r_2 = r &= 3.189\ 734, & \varrho &= 0.000\ 498, \\
 v_1 &= 118^{\circ}29\ 738, & v_2 &= 105^{\circ}60\ 220, \\
 u_1 &= 335.43\ 338, & u_2 &= 335.96\ 280, \\
 \alpha &= 360^{\circ} - u_1 = 24^{\circ}56\ 662, & \beta &= 360^{\circ} - u_2 = 24^{\circ}03\ 720, & & (87) \\
 l_1 &= 155^{\circ}11\ 300, & l_2 &= 155^{\circ}11\ 148, \\
 b_1 &= -4.46\ 072, & b_2 &= -4.45\ 191,
 \end{aligned}$$

Upoređjenjem ovih vrednosti za položaje proksimiteta sa vrednostima (30) i (31) (v. i naponene ispod ovih vrednosti) sa relativne čvorove vidimo da je, doista, proksimitet oko relativnog silaznog čvora. Za razlike argumenata latituda silaznog relativnog čvora i položaja proksimiteta imamo iznose :

$$u_{21} - u_{12} = 0^{\circ}529, \quad u_2 - u_1 = 0^{\circ}52942.$$

Razlikama pravih anomalija položaja planetoida u proksimitetu i relativnog silaznog čvora određene su uglovne daljine planetoida od relativnog silaznog čvora, kada se oni nalju u položaju najmanjeg rastojanja putanja. Njihove su vrednosti : $v_1 - v_{12} = u_1 - u_{12} = 2^{\circ}251$, $v_2 - v_{21} = u_2 - u_{21} = 2^{\circ}251$. Za ovoliko su (računajući u direktnom smeru) planetoidi uglovno daleko od pomenutog čvora, kad se na svojim putanjama nalju u proksimitetu. Uporedimo li ove vrednosti sa onima iz (35), vidimo koliko je grafički način za početni račun precizan. Za razliku pravih anomalija u proksimitetu nalazimo $\Delta v = v_1 - v_2 = 12^{\circ}69518$, dok razlika argumenata latituda perihela učenih putanja iznosi $\Delta \omega = \omega_2 - \omega_1 = 13^{\circ}225$, tako da je $\Delta u = \Delta \omega - \Delta v = 0^{\circ}529 = u_2 - u_1$.

Vrednostima α i β , iz (87), određene su najmanje uglovne daljine (računate u retrogradnom smeru) od uzlaznih čvorova jednog i drugog planetoida, kada se nalju u položajima proksimiteta. Uporedimo li ih sa vrednostima (37), dobivenim grafički, vidimo da se podudaraju na jednu decimalu stepena.

Za razlike između ekliptičkih koordinata planetoida u položajima proksimiteta i onih relativnog silaznog čvora, iz (87) i (33), naljene su vrednosti :

$$l_1 - \underline{l} = 2^{\circ}226, \quad b_1 - \underline{b} = 0^{\circ}381, \quad l_2 - \underline{l} = 2^{\circ}224, \quad b_2 - \underline{b} = 0^{\circ}389,$$

a između heliocentričnih radius - vektora 589 i 1564 sa položaja proksimiteta razlika iznosi $r_1 - r_2 = 0.000005$, dakle, oko proksimiteta može se smatrati kao da se oba planetoida kreću po sferi sa poluprečnikom $r = r_2 \approx r_1$, između njihovih ekliptičkih koordinata

ta u proksimitetu razlike su :

$$l_1 - l_2 = \Delta l = 0^{\circ}00' 152, \quad b_2 - b_1 = \Delta b = 0^{\circ}00' 881. \quad (8)$$

Pomoću poslednjih razlika možemo izračunati ugao između heliocentričnih radija-vektora planetoida u proksimitetu. Označimo li ga sa ψ , imaćemo

$$\psi = \sqrt{(\Delta l \cos b_1)^2 + (\Delta b)^2} = 0^{\circ}00' 894 = 32''.2. \quad (89)$$

Vidimo da je, na četiri decimale stepena, $\psi \approx \Delta b$. Znači da je proksimitet vrlo blizu heliocentrične konjunkcije u longitudi planetoida.

Iz razlika ekliptičkih koordinata zaključujemo da ćemo oba planetoida - ako bi u vreme prolaza kroz proksimitet bili i pristupačni posmatranjima - moći više uzastopnih dana posmatrati zajedno u polju vida. Dakle moći ćemo ih posmatrati i apsolutno i relativno - što je, inače, redak slučaj, i što će omogućiti vrlo korisnu kontrolu svih nađenih vrednosti i podataka.

12. Pregled i objašnjenje izračunatih vrednosti. -

a) Tablica 1 (na str. 58) sadrži vrednosti ξ_1, ζ_1, η_1 , koordinata poremećajnog planetoida, koje omogućuju da se dobije predstava o međusobnom položaju planetoida oko njihova proksimiteta. Vidimo da vrednosti ξ_1 stalno rastu; da su i do oko osmog dana posle proksimiteta jednake (na šest decimala) sa heliocentričnim radijima poremećajnog planetoida; kao i da su do proksimiteta veće od odgovarajućih vrednosti heliocentričnih radija poremećenog planetoida, a, zatim, manje od r. Znači, razlike $(\xi_1 - r)$ su u rasnaku -20^d do 0 pozitivne, a od 0 do $+20^d$ negativne. Koordinata ζ_1 je negativna do proksimiteta, pozitivna posle. Poremećajni planetoid je, dakle, prvo i s a poremećenog, do proksimiteta; zatim počinje prednjačiti. Po vrednostima koordinata ξ_1 zaključujemo da je 589 u početku iznad, tj. sa severne strane okulacione ravni planetoida 1564; negde u rasnaku od 14. -og do 12. -og dana pre

proksimiteta prolazi kroz ovu ravan, da, zatim, pređe na južnu stranu te ravni.

Radiji-vektori planetoida oko proksimiteta rastu, što se moglo videti i po vrednostima v i E za proksimitet. Vidimo, osim toga, i da je heliocentrični radije-vektor poremećenog planetoida pre proksimiteta manji, posle toga veći od radija-vektora poremećajnog planetoida, što se može lepo videti po utabličenim razlikama $(r_1 - r)$.

U tablici 1 date su, za posmatrani interval, i vrednosti rastojanja ϱ , sa dnevnim promenama; zatim vrednosti ϱ^{-3} , čije su promene nagle oko 0 -og trenutka i simetrične u odnosu na ovaj trenutak. Kao osobenost konstatujemo da se K ponaša kao ϱ^{-3} . Potsetimo da veličina K figurše u izrazima (83) za komponente poremećajne sile, koja je funkcija i veličine ϱ^{-3} . Zato smo i dali tablični pregled dobivenih vrednosti za ϱ^{-3} . Iste te vrednosti imamo, s obzirom na broj zadržanih vrednosnih cifara, i sa veličinom K . Napominjemo da su ove vrednosti date u jedinicama 10^4 , kao i komponente poremećajne sile, sa jediničnu masu. Vrednosti izvoda elemenata, opet sa jediničnu masu poremećajnog planetoida, dati su u jedinicama 10^6 . Ovo je učinjeno da bismo pojednostavili izračunavanje, imajući u vidu da će se, kasnije, pojaviti u računima masa poremećajnog planetoida sa faktorom 10^{-2} .

b) U Tablici 2 (na str. 60) date su vrednosti koeficijenata, koji se pojavljuju u diferencijalnim jednačinama oskulacionih elemenata, a kojima treba množiti odgovarajuće komponente poremećajne sile da bi se dobili izvodi.

c) Tablica 3 (na str. 62) sadrži vrednosti komponenta (sa jediničnu masu) poremećajne sile u oskulacionoj ravni: S - duž potega poremećajnog planetoida Srbija, T - normalne na ovoj, i N - normalne na oskulacionoj ravni. Iz ovih će se dobiti stvarne njihove vrednosti množenjem istih vrednošću mase poreme-

ćajnog planetoida - koja nam je nepoznata. Kasnije ćemo joj proceniti verovatnu vrednost, tako da ćemo, u konačnim izrazima sa poremećaje, moći ipak uzeti i njegovo verovatno dejstvo u obzir. Kvalitativan tok dejstava ovih komponenata neće se međjutim menjati.

Iz utabličениh vrednosti vidimo da komponenta S ostaje pozitivna do oko drugog dana posle proksimiteta. Oko samog proksimiteta njene promene se naglo povećavaju; dva dana otprilike pre proksimiteta dostižu svoj maksimum, dva dana posle proksimiteta minimum. U samom proksimitetu S ima pozitivnu vrednost, ali nešto manju od polovine maksimalne vrednosti, dva dana ranije.

Komponenta T se ponaša, bar u pogledu smera, suprotno od komponente S. Apolutno uzevši, njene vrednosti su manje od onih komponente S : u proksimitetu oko šest puta; dostižu minimum oko dva dana pre, maksimum oko dva dana posle proksimiteta.

Komponenta W je, u ovom slučaju, najinteresantnija. Oko četrnaestog dana pre proksimiteta ona menja znak, pozitivan u negativan; u trenutku proksimiteta dostiže svoju najveću (negativnu) vrednost, i to znatno veću od vrednosti drugih dveju komponenata.

Ova osobenost, to jest da je poremećajno dejstvo najveće u pravcu normalnom na okulacionoj ravni kad su planetoidi u proksimitetu, posledica je međusobnog položaja naših planetoida. Po ranije nadjanim vrednostima za Δ_1 , Δ_2 i Ψ vidi se lepo da se naši planetoidi, u trenutku proksimiteta, nalaze jedan 1564 nad drugim 589 . Kao posledicu ove okolnosti treba očekivati da će i najveća promena, u trenutku proksimiteta, pretrpeti oni putanjski elementi čije promene zavise od dejstvene komponente, W. A to su elementi Ω , $\underline{1}$ i ω , dakle i \tilde{K} , jer je $\tilde{K} = \Omega + \omega$.

Interesantno je da su na početku i završetku intervala vrednosti komponente W znatno manje od vrednosti drugih

dvaju komponentata poremećajne sile.

d) U Tablici 4 (na str. 63) dat je, prvo, tablični pregled : izvedâ putanjskih elemenata izmnoženih vremenim intervalom, $w = 2$ dana, sa jediničnu masu; sem toga, vrednosti članova prvog sumacionog niza, a kod μ i drugog sumacionog niza. Iz pregleda ovih vrednosti se može videti tek promena poremećaja.

e) U narednoj, V tablici, izdvojene su vrednosti poremećaja putanjskih elemenata poremećanog planetoida pod dejstvom poremećajnog planetoida jedinične mase, dobivene numeričkim integraljenjem, pomoću (85) i (86), i to odvojeno u razmacima: od -20 do $+20$ dana, od -20 do 0 i od 0 do $+20$ dana.

V-tablica (za $m_1 = 1$, u jedinicama 10^{10})

Interval	-20^d do $+20^d$	-20^d do 0	0 do $+20^d$
Poremećaj			
$\delta \Omega$	+ 11.3434	+ 5.6636	+ 5.6798
$\delta \omega$	- 11.1314	- 5.5175	- 5.6139
δi	- 4.8468	- 2.4200	- 2.4268
$\delta \tilde{x}$	+ 0.2120	+ 0.1461	+ 0.0659
δE	- 0.1111	- 0.4547	+ 0.3436
$\delta \varphi$	+ 0.0524	+ 0.2042	- 0.1518
$\delta \mu$	- 0.000 0592	- 0.000 1716	+ 0.000 1124

Iznosi poremećaja pojedinih elemenata dati su u ovoj tablici po redu njihovih veličina.

Vrednosti su date samo sa četiri decimale i faktorom 10^{10} , a kod μ sa tri decimale više, kao što je uobičajeno, što je sasvim dovoljno, ako se uzme u obzir da je masa poremećajnog planetoida - kao što ćemo se kasnije uveriti - reda veličine prilično manjeg od 10^{-10} Sunčeve mase.

Da bismo dobili tražene, dakle stvarne, poremećaje, treba gornje vrednosti izmnožiti masom poremećajnog planetoida.

Tako bismo dobili veličine poremećaja koje bi proizveo masivniji planetoid, 589, u kretanju manje masivnog planetoida, 1564, za trajanja njihovih prolaza kroz položaje proksimiteta.

13. Procena verovatnih iznosa poremećaja oko proksimiteta u kretanju (1564) pod dejstvom (589). - Napred je bilo već rečeno da su nam tačne vrednosti masa planetoida, i to ne samo naših već nepšte, nepoznate. Strogo uzevši, nije nam dovoljno poznat čak ni red veličine masa ovih tela. Znamo toliko samo da su posve neznatne. Stoga, ako bi nam, i pored toga, ovaj podatak bio potreban, pribegavamo procenama njegovih najverovatnijih vrednosti. Prema tome i kad su u pitanju poremećaji, koje bi jedan planetoid mogao proizvesti u kretanju drugog, za vreme prolaza kroz okolinu njihova proksimiteta - kao što je ovde slučaj - moramo se zadovoljiti procenom samo verovatnih iznosa tih poremećaja.

Nepoznate su nam i do danas ostale mase ovih tela, jer im ne znamo ni pravi oblik, ni dimenzije (sua prvih četiri), ni sastav, dakle ni gustinu. Za svaki od ovih podataka, kad nam i gde zatreba, slušimo se manje više verovatnim, hipotetičkim, vrednostima, izvedenim iz empirijskih relacija. Tako, na pr., o obliku ovih tela obično se (isključivo ili čitke) pretpostavlja da je sferan, što, naročito kod sitnijih planetoida, sigurno nije slučaj. O dimenzijama se zna samo da su im „poluprečnici“ manji od 500 km. /22/. O sastavu se pretpostavlja da mora biti približno sličan sastavu meteorita. Ova naša tela, međjutim - kao što znamo - posećuju s vremena na vreme. Znači njihov sastav i ostale fizičke osobine, dakle i gustinu, možemo smatrati dovoljno poznatima. Na njima se, dobrim delom, i zasnivaju empirijske relacije, iz kojih izvodimo manje više verovatne vrednosti raznih podataka o prirodi i planetoida.

Do podataka o verovatnoj vrednosti mase (m) nekog planetoida, izražene u jedinicama Sunčeve mase, mogli bismo, na pr., doći pomoću relacije

$$m = \left(\frac{R}{R_s} \right)^3 \frac{\rho}{\rho_s} \quad (90)$$

kad bi nam bili poznati R poluprečnik i ρ gustina planetoida, pošto su nam poluprečnik (R_s) i gustina (ρ_s) Sunca poznati. Za gustinu planetoida uzima se da se mora kretati između 3.0 i 3.5 g cm⁻³, /23, 24/. Imajući u vidu da Mesečeva srednja gustina iznosi 3.34 g cm⁻³, može se, kao verovatna, usvojiti za srednju gustinu planetoida vrednost 3.3 g cm⁻³.

Za poluprečnik planetoida dobiva se (u km) verovatna vrednost iz poznatog empirijskog obrascu /23/ :

$$[R] = 3.3135 - 0.2 g, \quad (91)$$

gde je uglavtom sagredom označen logaritam vrednosti poluprečnika, a se g zvezdana veličina planetoida, kad bi se ovaj nalazio na daljini od jedne astronomske jedinice od Sunca i od Zemlje. Obrazac je izveden uz pretpostavku da se odbojna sposobnost planetoidske površine može, dovoljno tačno, okarakterisati vrednošću albeda 0.20 - 0.23 (ustvari srednja vrednost između albeda četiri prva planetoida),/23/.

Za veličina g , u gornjem obrascu, izvedena su na naše planetoida, iz vizualnih i fotografskih merenja zvezdanih veličina, vrednosti, /25/.

$$\text{za } 589 : g_1 = 9.98, \quad \text{za } 1564 : g_2 = 12.05. \quad (92)$$

Prema tome se njihove najverovatnije „poluprečnike“ dobivaju se vrednosti

$$\text{za } 589 : R_1 = 20.8 \text{ km}, \quad \text{za } 1564 : R_2 = 8.0 \text{ km}. \quad (93)$$

Prema obrascu (90) i onome što je ranije rečeno, za masu većeg i masivnijeg od naših planetoida, dakle planetoida 589, dobiva se kao najverovatnija, u jedinicama Sunčeve mase, vrednost

$$m_1 = 6 \times 10^{-14}. \quad (94)$$

Očigledno je da se od ovoliko neznatne mase poremećajnog planetoida ne bi moglo, i ne može, očekivati neko merljivo dejstvo u kretanju poremećenog planetoida. Sem, eventualno, u izuzetno povoljnim slučajevima: ako bi se, recimo, oba tela mogla jedno drugom dovoljno približiti. Drugim rečima, ako bi, u našem slučaju, elementi putanja uočeni planetoida ovima omogućavali dovoljno blizak proksimitet. Stoga smo i smatrali za potrebno da, u tački 9, ispitamo da li bi se mogao ranije najbliži proksimitet - sam po sebi već malen - i pod kojim uslovima, još smanjiti i, tako, olakšati da poremećajno dejstvo u kretanju, pri prolazu kroz proksimitet, dodje do merljivog izražaja.

Ovo pitanje nas je pobudilo i da - pošto nam je sad verovatna vrednost mase poremećajnog planetoida poznata - odredimo veličinu (tačnije, poluprečnik) sfere njegova dejstva. To je, kao što znamo, sfera oko poremećajnog planetoida u čijoj je unutrašnjosti njegovo privlačno dejstvo jače od Sunčeva. Vrednost tog poluprečnika, ako ga označimo sa D , dobiva se iz obrasca, /26/.

$$D = m_1^{0.4} r_1 (1 + 3 \cos^2 \theta)^{-0.1}, \quad (95)$$

gde je sa m_1 označena masa poremećajnog planetoida, a sa θ ugao kod m_1 (v. sl. 4), a čija se vrednost određuje, pomoću poznatih veličina, iz obrasca

$$\operatorname{tg} \frac{\theta}{2} = + \sqrt{\frac{(s - r_1)(s - \rho)}{s(s - r_2)}} \quad , \quad s = \frac{1}{2}(r_1 + r_2 + \rho). \quad (96)$$

Za naše planetoida nalazimo, u trenutku prolaza

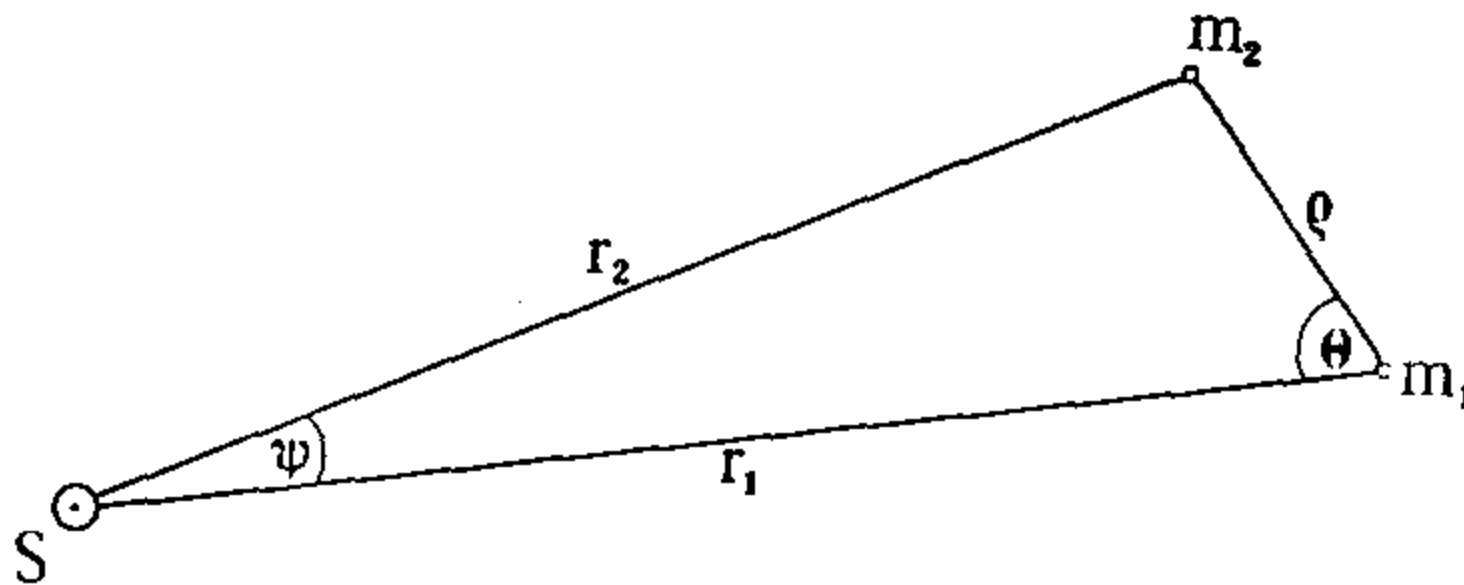
kroz proksimitet,

$$\theta = 89^{\circ}4 . \quad (97)$$

I tako se za poluprečnik sfere dejstva poremećajnog planetoida dobiva

$$D = 16 \times 10^{-5} \text{ AJ} \approx 2\,440 \text{ km.} \quad (98)$$

Ovo je jedva oko tridesetog dela rastojanja naših planetoida u proksimitetu, dobivenom sa njihovim polaznim putanjskim elementima.



Sl. 4

Ako preuzetimo da smo u tački θ , pri spregu sasvim verovatnih relativno malih promena elemenata, našli da bi se daljina putanja u proksimitetu naših planetoida mogla smanjiti na svega 1×10^{-5} , ili 1.495 km ($0.23 R_J$), vidimo da bi se prolaz kroz proksimitet naših planetoida mogao dogoditi čak i u unutrašnjosti sfere dejstva masivnijeg planetoida.

Na vratimo se proceni verovatnih vrednosti poremećaja polaznih elemenata oko proksimiteta. Sa nadjenom, verovatnom, vrednošću mase poremećajnog planetoida 589 nalazimo za verovatno

iznose poremećaja drugog od naših planetoida, dakle 1564 ,
za vreme prolaza kroz njihov proksimitet :

VI tablica

Interval	-20^d do $+20^d$	-20^d do 0	0 do $+20^d$
Poremećaj			
$\delta\alpha$	+ 0."007	+ 0."003	+ 0."003
δi	- 0.003	- 0.001	- 0.001
$\delta\omega$	- 0.007	- 0.003	- 0.003
$\delta\tilde{i}$	0.000	0.000	0.000
$\delta\gamma$	0.000	0.000	0.000
$\delta\mu$	0.000	0.000	0.000
$\delta\mu$	0.000 00	0.000 00	0.000 00

Vrednosti iz VI tablice su date sa jednom decimalom
više nego što je to praksa. I vidimo da nadjeni verovatni iznosi
poremećaja - n i s u pristupačni merenjima; drugim rečima na
kretanju naših planetoida nisu prisutni, te se mogu zanem-
mariti!

III DEO

ZAKLJUČAK

14. Rezultati i njihov značaj. - U radu su podrobno proučene geometrijske, kinematičke i dinamičke osobine i osobitosti u putanjama i načinu kretanja dvaju planetoida iz grupe sa kvazikomplanarnim putanjama: (589) Croatia i (1564) Srbija - na koje mi je pažnju skrenuo profesor V. V. Mišković - koji su nam dosad poznati bili samo kao planetoidi sa nazivima naših dveju najvećih republika, a drugi, kasnije numerisani među njima, još i kao prvi otkriveni planetoid na Beogradskoj astronomskoj opservatoriji.

U prvom delu rada utvrđeno je :

1) da putanje ovih planetoida, na jednoj od svojih dveju raskrstanica, dostižu najmanju međusobnu daljinu od svega 0.000 5 AJ, ili oko 75 000 km (dakle, oko petinu Mesečeve daljine od Zemlje), što je sa kosmičke, pa i interplanetarne, daljine i vrlo male i velika retkost; kao i da se, s obzirom na putanjske elemente naših planetoida, ovi na tom položaju - koji smo nazvali proksimitetom - mogu sresti u istom, ili vrlo približno istom trenutku;

2) da se prvi naredni prolaz planetoida kroz najjeni proksimitet može očekivati za, otprilike, 109 godina, dakle u doglednoj budućnosti, što je povoljno, jer se može iskoristiti u naučne svrhe, ako se dogodi na položaju pristupačnom posmatranjima sa Zemlje.

U drugom delu rada nadjeno je :

3) da se pod izvesnim uslovima, sasvim verovatnim i lako ostvarljivim - tačnije, pri određenoj kombinaciji relativno neznatnih promena polaznih putanjskih elemenata naših planetoida - može daljina putanja oko proksimiteta smanjiti na svega - j e d a n s t o hiljaditi deo astronomske jedinice, dakle na oko 1 500 km.

Zatim su dati :

4) rezultati poremećaja u kretanju (manje masivnog) planetoida (1564) pod dejstvom (masivnijeg) (589) , za vreme (od 20 dana pre do 20 dana posle) prolaza kroz nadjeni proksimitet, i pokazano je da to dejstvo, za trajanja prolaza, n e m o ž e u elementima poremećenog planetoida proizvesti ^{merljive} promene koje bi dostizale iznose i u njegovu kretanju;

5) potrebni podaci koji omogućuju da se, za ove kvazikomplanarne planetoida, proceni daljina sa koje bi pomenu poremećajno dejstvo, bar u nekim od putanjskih elemenata, za trajanja prolaza planetoida kroz proksimitet, dostiglo iznose čije bi posledice po kretanje bile pristupačne merenjima.

+

Tako je u ovoj studiji, pre svega, prvi put istaknut značaj grupe kvazikomplanarnih objekata : planetoida, prirodnih i veštačkih satelita, višestrukih zvezda, za iznalaženje njihovih proksimiteta, a, naročito, onih kod kojih se ti objekti duže vreme zadržavaju jedan kraj drugog i za to vreme osjetno dejstvuju jedan na drugi.

Zatim je, prvi put, primenjen jedan jednostavan i vrlo precizan postupak za određivanje broja raskrsnica na puta-

njama i približnih položaja proksimiteta objekata, poznatih putanjskih elemenata, kao i za izračunavanje same vrednosti proksimiteta, što, svakako, predstavlja koristan doprinos ne samo za problematiku planetoida, već i za problematiku sistema prirodnih planetarnih i veštačkih satelita i višestrukih zvezda.

U studiji su, prvi put, određene i granice daljina pri kojima bi dejstvo, specijalno planetoida, tela sa tako reći potpuno zanemarljivim masama, moglo proizvesti promene u polaznim putanjskim elementima, čije bi posledice mogle biti posmatranjima pristupačne. Znači, ako bi se našao par kvazikomplanarnih planetoida kod kojih bi daljina proksimiteta dostizala pomenutu granicu, ovakav slučaj bi predstavljao povoljnu priliku za rešenje problema, koji je dosad smatran za nerešljiv, tj. da se, iz posmatranih posledica poremećaja u njihovu kretanju, odredi masa poremećajnog planetoida.

U ovoj studiji su, najsad, proučena i data približna rešenja za pojedinosti koje bi se mogle i verovatno će se pojavljivati i u problematici o kretanju veštačkih satelita.

+

Profesoru V. V. Miškoviću izražavam zahvalnost za rukovođenje pri izradi ove doktorske disertacije.

Tablica 1 (U jedinicama 10^{-6}) 58

t	ξ_1	η_1	ζ_1	ξ_1	η_1	$\zeta_1 - \eta_1$
	<u>3 180 000</u> +			<u>3 180 000</u> +	<u>3 100 000</u> +	
-20 ^d	2 814	-1732	262	2 814	48 997	33 817
-18	3 516	-1736	186	3 516	53 097	30 420
-16	4 215	-1705	110	4 216	57 191	27 025
-14	4 913	-1635	34	4 914	61 280	23 634
-12	5 609	-1525	- 42	5 609	65 363	20 246
-10	6 302	-1369	- 118	6 302	69 440	16 862
- 8	6 994	-1174	- 194	6 994	73 511	13 483
- 6	7 683	- 942	- 270	7 683	77 576	10 107
- 4	8 370	- 671	- 346	8 370	81 635	6 735
- 2	9 056	- 355	- 422	9 056	85 688	3 368
0	9 739	- 1	- 498	9 739	89 734	5
+ 2	10 419	391	- 574	10 419	93 773	- 3 354
+ 4	11 098	821	- 650	11 098	97 805	- 6 707
+ 6	11 774	1294	- 725	11 774	101 813	-10 057
+ 8	12 447	1804	- 801	12 448	105 850	-13 402
+10	13 119	2352	- 877	13 120	109 862	-16 742
+12	13 788	2935	- 952	13 789	113 866	-20 077
+14	14 454	3562	-1028	14 456	117 863	-23 407
+16	15 118	4225	-1104	15 121	121 853	-26 732
+18	15 779	4925	-1180	15 783	125 835	-30 052
+20	16 438	5672	-1255	16 443	129 809	-33 366

$- \lambda$	δ	ΔS za 1 dan (u Jed. 10^4)	S^{-3}
3 817	33 862	-1697	3
10 420	30 469	-1695	4
27 025	27 078	-1694	5
23 634	23 690	-1693	8
20 246	20 304	-1693	12
16 862	16 918	-1691	21
13 483	13 535	-1691	40
10 107	10 154	-1688	96
6 735	6 777	-1682	321
3 368	3 413	-1458	2 515
5	498	1464	811 030
- 3 354	3 425	1682	2 490
- 6 707	6 789	1689	320
-10 057	10 166	1690	95
-13 402	13 547	1691	40
-16 742	16 930	1692	21
-20 077	20 314	1694	12
-23 407	23 701	1694	8
-26 732	27 090	1695	5
-30 052	30 480	1697	4
-33 366	33 873		3

Tablica 2 (U jedinicama 10^{-6}) 60

t	$\{\delta_b : W\}$	$\{i : W\}$	$\{\tilde{\mu} : S\}$	$\{\tilde{\mu} : T\}$	$\{\tilde{\mu} : W\}$	$\{\psi : S\}$
	<u>-2 000 000</u>	<u>900 000 +</u>	<u>1 000 000 +</u>	<u>9 000 000 +</u>	<u>-40 000</u>	<u>1 000 000</u>
-20 ^a	-531 441	29 024	- 1 417	454 608	-6389	+ 66
-18	-505 355	33 120	+26 326	448 440	-5911	- 1 251
-16	-479 175	37 180	53 958	441 941	-5431	- 2 601
-14	-452 900	41 206	81 482	435 111	-4950	- 3 983
-12	-426 533	45 195	108 897	427 952	-4467	- 5 397
-10	-400 078	49 150	136 200	420 468	-3982	- 6 842
- 8	-373 533	53 069	163 395	412 658	-3496	- 8 319
- 6	-346 899	56 953	190 479	404 528	-3007	- 9 827
- 4	-320 177	60 802	217 453	396 075	-2518	-11 366
- 2	-293 372	64 615	244 314	387 306	-2027	-12 934
0	-266 483	68 393	271 066	378 223	-1534	-14 533
+ 2	-239 510	72 136	297 706	368 823	-1040	-16 162
+ 4	-212 457	75 844	324 233	359 114	- 544	-17 820
+ 6	-185 324	79 516	350 650	349 094	- 46	-19 508
+ 8	-158 111	83 152	376 954	338 766	+ 452	-21 224
+10	-130 822	86 754	403 147	328 133	952	-22 970
+12	-103 456	90 320	429 349	317 198	1454	-24 743
+14	- 76 014	93 851	455 195	305 960	1957	-26 545
+16	- 48 499	97 347	481 049	294 423	2461	-28 374
+18	- 20 912	100 807	506 790	282 589	2966	-30 231
+20	+ 6 746	104 232	532 419	270 460	3473	-32 115

S }	{ ψ : T}	{ μ : S}	{ μ : T}	{ M_0 : S}	{ M_0 : T}	t
00		<u>-3900</u>	<u>-18 000</u>	<u>-3 000 000</u>	<u>-9 000 000</u>	
66	-215 874	-99	-470	- 22 171	-240 520	-20 ^d
51	-228 175	-94	-446	- 51 950	-236 492	-18
01	-240 444	-88	-422	- 81 616	-228 140	-16
83	-252 682	-82	-398	-111 175	-221 465	-14
97	-264 886	-77	-374	-140 622	-214 468	-12
42	-277 058	-71	-351	-169 956	-207 153	-10
19	-289 196	-65	-327	-199 180	-199 520	- 8
27	-301 302	-59	-304	-228 293	-191 574	- 6
66	-313 374	-53	-280	-257 294	-183 312	- 4
34	-325 412	-47	-257	-286 180	-174 743	- 2
33	-337 416	-40	-234	-314 955	-165 865	0
62	-349 385	-34	-211	-343 616	-156 678	+ 2
20	-361 320	-27	-188	-372 163	-147 188	+ 4
08	-373 221	-20	-165	-400 598	-137 396	+ 6
24	-385 086	-14	-142	-428 918	-127 301	+ 8
70	-396 917	- 7	-120	-457 124	-116 909	+10
43	-408 738	0	- 97	-485 334	-106 221	+12
45	-420 471	+ 8	- 74	-513 192	- 95 238	+14
74	-432 194	15	- 52	-541 054	- 83 962	+16
31	-443 882	22	- 30	-568 800	- 72 396	+18
15	-455 533	30	- 8	-596 430	- 60 542	+20

Tablica 3 (Za $m_1=1$, u jedinicama 10^4)

t	S	T	W
	"	"	"
-20 ^a	1 072	- 55	8
-18	1 324	- 76	8
-16	1 675	- 106	7
-14	2 188	- 151	3
-12	2 977	- 224	6
-10	4 286	- 348	30
- 8	6 693	- 583	96
- 6	11 882	- 1 107	317
- 4	26 622	- 2 653	1 368
- 2	104 262	-10 975	13 058
0	49 232	- 7 986	-4 968 154
+ 2	-102 760	11 975	17 577
+ 4	- 26 388	3 229	2 555
+ 6	- 11 782	1 515	850
+ 8	- 6 635	893	397
+10	- 4 247	596	222
+12	- 2 948	431	140
+14	- 2 164	329	95
+16	- 1 655	262	68
+18	- 1 307	214	51
+20	- 1 057	180	40

63

Tablica 4 (Za $n_1 = 1$, u jedinicama 10^6)

t	$w \frac{d\delta}{dt}$	I_F	$w \frac{di}{dt}$	I_F	$w \frac{d\sqrt{I}}{dt}$	I_F	$w \frac{d\gamma}{dt}$	I_F
	"	"	"	"	"	"	"	"
-26 ^d	0	0	0	0	+ 4	- 16	+ 6	- 29
-24	0	0	0	0	+ 4	- 12	+ 8	- 23
-22	0	0	0	0	+ 5	- 8	+ 9	- 15
-20	0	0	0	0	+ 6	- 3	+ 11	- 6
-18	0	0	0	0	+ 6	+ 3	+ 13	+ 5
-16	0	0	0	0	+ 8	+ 9	+ 17	+ 18
-14	0	0	0	0	+ 9	+ 17	+ 22	+ 35
-12	0	0	0	0	+ 12	+ 26	+ 30	+ 57
-10	+ 1	0	0	0	+ 16	+ 38	+ 44	+ 87
- 8	+ 2	+ 1	- 1	0	+ 23	+ 54	+ 68	+ 131
- 6	+ 7	+ 3	- 3	1	+ 37	+ 77	+ 121	+ 199
- 4	+ 32	+ 10	- 13	4	+ 75	+ 114	+ 272	+ 320
- 2	+ 299	+ 42	- 126	17	+ 273	+ 189	+1065	+ 592
0	+112 602	+ 341	-48 111	143	+1940	+ 462	+ 512	+1657
+ 2	+ 394	+112 943	- 171	-48 254	- 204	+2402	-1053	+2169
+ 4	+ 57	+113 337	- 25	-48 425	- 46	+2198	- 269	+1116
+ 6	+ 19	+113 394	- 8	-48 450	- 17	+2152	- 121	+ 847
+ 8	+ 9	+113 413	- 4	-48 458	- 8	+2135	- 68	+ 726
+10	+ 5	+113 422	- 2	-48 462	- 4	+2127	- 44	+ 658
+12	+ 3	+113 427	- 1	-48 464	- 2	+2123	- 31	+ 614
+14	+ 2	+113 430	- 1	-48 465	- 1	+2121	- 22	+ 583
+16	+ 1	+113 432	- 1	-48 466	0	+2120	- 17	+ 561
+18	+ 1	+113 433	- 1	-48 467	0	+2120	- 14	+ 544
+20	+ 1	+113 434	0	-48 468	0	+2120	- 11	+ 530
+22	+ 1	+113 435	0	-48 468	+ 1	+2120	- 9	+ 519
+24	0	+113 436	0	-48 468	+ 1	+2121	- 8	+ 510
+26	0	+113 436	0	-48 468	+ 1	+2122	- 7	+ 500
		+113 436		-48 468		+2123		*

	$\frac{dM}{dP}$	I_P	$\frac{d^2 M}{dP^2}$	I_P	II_P	t
	(U jedinicama 10^3)					
	"	"	"	"	"	"
9	- 17	+ 72	- 22	+ 90	- 125	-26 ^d
3	- 19	+ 55	- 24	+ 68	- 57	-24
5	- 23	+ 36	- 28	+ 44	- 13	-22
6	- 27	+ 13	- 33	+ 16	+ 3	-20
5	- 33	- 14	- 39	- 17	- 14	-18
8	- 42	- 47	- 47	- 56	- 70	-16
5	- 54	- 89	- 59	- 103	- 173	-14
7	- 73	- 143	- 77	- 162	- 335	-12
7	- 104	- 216	- 106	- 239	- 574	-10
1	- 160	- 320	- 159	- 345	- 919	- 8
9	- 282	- 480	- 268	- 504	- 1 423	- 6
0	- 623	- 762	- 567	- 772	- 2 195	- 4
2	-2419	-1385	-2111	-1339	- 3 534	- 2
7	- 900	-3804	- 434	-3450	- 6 984	0
9	+2339	-4704	+1862	-3934	-10 918	+ 2
6	+ 594	-2365	+ 449	-2072	-12 990	+ 4
7	+ 262	-1771	+ 187	-1623	-14 613	+ 6
6	+ 146	-1509	+ 98	-1436	-16 049	+ 8
8	+ 92	-1363	+ 58	-1338	-17 387	+10
4	+ 64	-1271	+ 37	-1280	-18 667	+12
3	+ 46	-1207	+ 25	-1243	-19 910	+14
1	+ 35	-1161	+ 17	-1218	-21 128	+16
4	+ 27	-1126	+ 12	-1201	-22 329	+18
0	+ 22	-1099	+ 9	-1189	-23 518	+20
9	+ 18	-1077	+ 6	-1180	-24 698	+22
0	+ 15	-1059	+ 4	-1174	-25 872	+24
12	+ 12	-1044	+ 3	-1170	-27 042	+26
15		-1032		-1167		

L i t e r a t u r a

- /1/ G r u n e r t, Über die Proximitäten der Bahnen der Planeten und Cometen; Sitzb. d. math.-naturw. Cl. der k. Ak. d. Wiss., Wien, 1854, Bd. XIII.
- /2/ G r u n e r t, Directe Bestimmung der Durchschnittspunkte der Bahnen zweier in Kegelschnitten sich um die Sonne bewegenden Weltkörper; Denkschr. d. Ak. d. Wiss. in Wien, 1861, Bd. XIX.
- /3/ K a r l v o n L i t t r o w, Bahnnähen zwischen den periodischen Gestirnen des Sonnensystems; Sitzb. d. Math. Naturw. Cl. der k. Ak. d. Wiss., Wien, 1854, Bd. XIII. Većina kasnijih njegovih radova po ovom pitanju pojavila se u volumima XXIX, XLIII, XLV, XLVII, XLIX, LI, LIV, LVI istog zbornika.
- /4/ A n d r e a s G a l l e, Zur Berechnung der Proximitäten von Asteroiden-Bahnen; Inaugural Dissertation, Breslau, 1883.
- /5/ G. F a y e t, Contribution à l'étude des proximités d'orbites dans le système solaire; Ann. Bur. des Long., t. XII, Centre National de la Rech. Scient., Paris, 1949.
- /6/ G. F a y e t, Petites Planètes, Tables de coordonnées héliocentriques et données concernant les oppositions; Université de Paris, Observatoire de Nice, Paris, T. I, 1932; T. II, 1933.
- /7/ A. M a r t h, Data for a Graphical Representation of the Solar System; Monthly Notices R. A. S., 1865, XLV, 348, 483.

- /8/ E l i s S t r ö m g r e n, Über die gegenseitigen Störungen zweier einander naherkommenden kleinen Planeten; A. N. 165 (1904), 17-24.
- /9/ G o d i š n j a k S r p s k e a k a d e m i j e n a u k a, LXV, za 1958, 138.
- /10/ R e p o r t s o n A s t r o n o m y, Transactions of the International Astronomical Union, Vol. XI, 1961, 180.
- /11/ G. S t r a c k e, Bahnbestimmung der Planeten und Cometen; J. Springer, Berlin, 1929, 41, 224, 277-280.
- /12/ A. N., 170 (1906), 354.
- /13/ A. N., 172 (1906), 389.
- /14/ A. N., 183 (1910), 16.
- /15/ K l e i n e P l a n e t e n, 1939.
- /16/ V. V. M i c h k o v i t c h, Opposition de 1938 de la planète 1936 TB; Bulletin de l'Observatoire Astronomique de l'Université de Belgrade, III, 1938, No 2, 5.
- /17/ R. K a š a n i n, Sur les positions relatives de deux astéroïdes; Mémoires III, Publications de l'Observatoire astronomique de l'Université de Belgrade, 1936, 5-9.
- /18/ A. N., 174 (1907), 57.
- /19/ E f e m e r i d i m a l i h p l a n e t, 1963, 25, 43, 22.
- /20/ E x p l a n a t o r y S u p p l e m e n t ..., St. Office, London, 1961, 27-28, 489-490.
- /21/ J u l i u s B a u s c h i n g e r, G u s t a v S t r a c k e, Tafeln zur theoretischen Astronomie; Leipzig, 1934, 184.
- /22/ I. I. P u t i l i n, Malie planeti; Moskva, 1953, 198, 207.
- /23/ V. V. Š a r o n o v, Priroda planet; Moskva, 1958, 145, 297, 300, 304-305.

- /24/ C. W. A l l e n, Astrophysical Quantities; University of London, 1955, 159, 193, 195.
- /25/ T. G e h r e l s, Mean photographic magnitudes of the ephemeris asteroids and their weights; Transactions I. A. U., X, 305, 309, 316. Cambridge, 1960.
- /26/ H. C. P l u m m e r, An Introductory Treatise on Dynamical Astronomy; II Ed., Dover Publ., New York, 1960, 151, 234-235.